

# **Tehnici de modelare și simulare**

**Îndrumător de laborator**

Rodica Țirtea  
2008



## Cuvânt înainte

---

Tehnicile de modelare și simulare s-au dezvoltat în ultimele decenii într-un ritm neașteptat mulțumită creșterii capacității de calcul și a vitezei sistemelor de calcul. În acest fel, utilizând platforme performante pentru modelare și simulare, costurile de proiectare și testare sunt reduse în mod substanțial.

Această lucrare propune câteva teme practice pentru a fi realizate la activitatea de laborator a studenților care aleg cursul de „Tehnici de modelare și simulare”. Structura materialului urmează capitolele cursului de Tehnici de modelare și simulare.

Acest îndrumător de laborator abordează diverse teme, de la cele care vizează erorile în modelare, modelarea proceselor independente de timp (utilizând atât automate de stări cât și rețele Petri), la modelarea sistemelor temporizate și apoi probabilistice ca în final să se analizeze și alte domenii în care pot fi utilizate tehnicile de modelare și simulare. Exemplele și modelele sunt selectate dintre cele care au aplicație și sunt utile în modelarea proceselor legate de sistemele de calcul.

Prin această lucrare se încearcă familiarizarea cursantului cu noțiunile și caracteristicile tehnicilor de modelare. Fiecare lucrare propusă recapitulează pe scurt noțiunile prezentate la curs pe acea temă. Temele propuse se bazează, în principal, pe două referințe bibliografice: *Introduction to Computational Science: Modeling and Simulation for the Sciences*, Angela B. Shiflet & George W. Shiflet, Princeton University Press, 2006 și respectiv *Introduction to Discrete Event Systems*, Christos G. Cassandras & Stephane Lafortune, Springer, 2008, a doua ediție. Pentru implementări nu sunt indicate anumite platforme pentru modelare și simulare pentru a lăsa la latitudinea cursanților selectarea diversele instrumente software care pot fi utilizate. În funcție de domeniul de utilizare a tehnicilor, există diverse platforme profesionale pentru modelare și simulare. Doar în unele locuri sunt indicate instrumente software, și în special acestea sunt din domeniul Open Source.

Domeniul de studiu „Tehnici de modelare și simulare”, în mod evident, permite extinderea cursului și a temelor practice propuse. Totuși, în realizarea acestui material s-a ținut cont de planul de învățământ care specifică patrusprezece ore de laborator, astfel, doar temele considerate esențiale au fost incluse.

Sper ca acest material să fie pe de o parte util și pe de altă parte utilizat de către studenți. Mulțumesc pe această cale studenților care până acum au furnizat opinii și reacții vis-a-vis de acest material și pe de altă parte sper ca în continuare să existe feedback din partea celor care îl utilizează.

Rodica Țirtea  
Noiembrie 2008



# Cuprins

---

Cuvânt înainte .....	3
Cuprins .....	5
1. Modelare și simulare. Scurtă analiză a erorilor în modelare .....	7
1.1. Introducere .....	7
1.2. Tipuri de erori în modelare .....	7
1.3. Exerciții propuse .....	13
2. Analiza sistemelor.....	15
2.1. Prezentarea lucrării .....	15
2.2. Clasificarea sistemelor .....	15
2.3. Sisteme cu evenimente discrete (DES) .....	17
2.4. Sisteme cu cozi de așteptare (queueing systems) .....	18
2.5. Probleme propuse .....	18
3. Modele netemporizate pentru modelarea DES. Expresii regulate și automate de stări ...	21
3.1. Despre lucrare .....	21
3.2. Noțiuni utilizate. Expresii regulate și automate.....	21
3.3. Probleme propuse .....	22
4. Rețele Petri. Modele netemporizate pentru DES .....	25
4.1. Prezentarea lucrării .....	25
4.2. Rețele Petri netemporizate. Rezumatul noțiunilor utilizate .....	25
4.3. Probleme propuse .....	28
4.4. Utilizarea aplicației PIPE (Platform Independent Petri Net Editor) .....	30
4.5. Probleme suplimentare utilizând PIPE .....	31
5. Modele temporizate pentru DES.....	33
5.1. Prezentarea lucrării .....	33
5.2. Automate și rețele Petri temporizate.....	33
5.3. Probleme propuse .....	35
6. Modelarea unor procese economice utilizând lanțuri Markov .....	37
6.1. Analiza proceselor stohastice utilizând lanțuri Markov .....	37
6.2. DTMC – Studiu de caz. Evoluția ponderii de piața.....	38
6.3. Studii propuse .....	40
Bibliografie .....	43



# 1. Modelare și simulare. Scurtă analiză a erorilor în modelare

---

## 1.1. Introducere

Pe parcursul soluționării unei probleme de modelare care presupune calcul matematic pot să apară erori. Pot fi influențate de erori toate etapele parcurse în modelare – de la colectarea datelor până inclusiv la implementarea pe calculator. Cei care realizează modelarea sistemelor trebuie să fie conștienți de posibilitatea apariției acestor erori, și, pe de o parte trebuie să minimizeze influența erorilor iar pe de altă parte să evite formularea unor concluzii eronate pe baza unor rezultate greșite. În această lucrare sunt prezentate și discutate concepte legate de erori și surse de erori. Sunt rezolvate exerciții pentru exemplificare. De asemenea sunt propuse, atât pe secțiuni, cât și la final, exerciții recapitulative.

## 1.2. Tipuri de erori în modelare<sup>1</sup>

În această secțiune nu ne propunem să realizăm o clasificare a erorilor. Vom analiza totuși diverse tipuri de erori care apar pe parcursul procesului de modelare și vom identifica modalitățile cele mai eficiente de a reduce efectul acestor erori.

### 1.2.1. Date eronate

Pentru a colecta date de intrare, majoritatea sistemele pe care le modelăm utilizează senzori. Valorile furnizate de acești senzori sunt apoi analizate și utilizate pentru decizii. Orice disfuncționalitate a acestor senzori determină decizii eronate. De exemplu, dacă un senzor care detectează presiunea dintr-o instalație nu funcționează corect, sau nu este bine calibrat, nu va putea furniza date corecte pentru dispozitivul de control al presiunii. De asemenea, precizia detecției poate să fie o problemă.

### 1.2.2. Erori de modelare

Etapă de modelare poate să fie însoțită de erori. Persoanele implicate în procesul de modelare pot să greșescă. Dacă modelul este simplificat prea mult atunci ecuațiile care descriu sistemul nu mai corespund procesului inițial și deci nu mai corespund realității. De exemplu, lordul Kelvin (cel care a introdus sistemul de măsurare a temperaturii cu același nume) a propus pe la mijlocul secolului XIX un model matematic și a calculat vârsta planetei noastre ca fiind între 20 și 40 de milioane de ani. Totuși aceasta valoare este mult diferită de cea reală de aprox. 12 miliarde de ani. Lordul Kelvin a presupus că Pământul se răcește (din faza în care era doar o masă incandescentă) și Soarele este singura sursă de energie. Totuși această presupunere nu este corectă deoarece descompunerea elementelor radioactive din scoarța terestră generează de asemenea energie termică, încetinind astfel răcirea planetei. Totuși lordul Kelvin nu a putut lua în considerare aceste efecte ale radioactivității deoarece radioactivitatea a fost descoperită de Becquerel mai târziu, în anul 1896.

---

<sup>1</sup> *Introduction to Computational Science: Modeling and Simulation for the Sciences*, Angela B. Shiflet & George W. Shiflet, Princeton University Press, 2006 (Module 2.2).

### 1.2.3. Erori de implementare

Etapă de implementare este de asemenea supusă erorilor. Un exemplu edificator în acest sens este pierderea de către NASA în 1999 a unei nave spațiale care avea misiunea de a observa planeta Marte. Dezastrul a fost cauzat de faptul că sistemele furnizate de o parte din producători erau gândite utilizând sistemul metric și unități referențiale iar cealaltă parte a furnizorilor de echipamente a utilizat sistemul englezesc de măsură.

### 1.2.4. Precizia

Erori pot să apară și în etapa de calcul datorită preciziei de calcul. Vom analiza mai în detaliu acest aspect.

Multe din limbajele de programare utilizează reprezentarea numerelor în virgulă flotantă în formă exponențială. De exemplu un rezultat de forma  $9.843600e02$  înseamnă  $9.843600 \times 10^2 = 984.36 = 0.98436 \times 10^3$ . Numerele cu virgulă flotantă sunt memorate de către calculatoare în trei părți: prima parte pentru *semn*, 0 sau 1, pentru semnul + sau respectiv -, a doua parte este *mantisa* (sau partea semnificativă sau fracționară) 98436 în cazul nostru, și ultima parte este *exponentul*, adică 3 în acest caz.

*Notația exponențială* se reprezintă ca și produs a unei părți zecimale cu o putere de a lui 10 ex. dacă  $a$  este partea zecimală și  $n$  un întreg, notația exponențială *aen* reprezintă  $a \times 10^n$ . Partea întreagă rezultată prin eliminarea virgulei din  $a$  formează *mantisa* iar  $n$  reprezintă *exponentul*.

*Forma normalizată* este dată de scrierea în care mantisa are virgulă în față primei cifre diferite de zero: ex.  $0,98436 \times 10^3$ . În această formă, toate cifrele diferite de zero sunt semnificative ex. 98436. Pentru numere întregi cum ar fi  $003\ 704\ 000 = 0.3704 \times 10^7$ , cifrele 3704 sunt *cifre semnificative*, iar 3 este *cea mai semnificativă cifră*. Pentru numerele reale, de exemplu pentru  $0,09200 = 0,92 \times 10^{-1}$ , 9 este cea mai semnificativă cifră iar 9200 sunt cifrele semnificative (deci inclusiv 0 la final).

*Forma științifică* în schimb plasează virgula după prima cifră diferită de zero, astfel încât aceeași valoare este scrisă  $9,8436 \times 10^2$ .

*Precizia* este dată de numărul de cifre semnificative. Astfel atât  $003\ 704\ 000$  cât și  $0,09200$  au aceeași precizie, adică 4.

*Magnitudinea* indică mărimea relativă a valorii și este 10 la puterea dată de exponent în forma normalizată. Astfel  $0.3704 \times 10^7$  are magnitudinea  $10^7$ .

În C respectiv C++ precizia unui număr în virgulă flotantă de tipul *float* (adică precizie simplă) este de 6-7 cifre zecimale pentru partea semnificativă în timp ce magnitudinea variază între  $10^{-38}$  și  $10^{38}$ . Tipul *double* utilizează spațiu de memorie dublu pentru memorie comparativ cu tipul *float* și utilizând dubla precizie poate fi utilizat pentru a reprezenta 14-15 cifre semnificative iar magnitudinea poate varia între  $10^{-308}$  și  $10^{308}$ .

**Întrebări recapitulative 1.** Pentru valorile (i) 0,0004500; (ii) 230000; (iii) 0,312 să se rezolve următoarele probleme:

- Utilizând forma normalizată să se specifice cifrele semnificative.
- Utilizând forma normalizată să se specifice exponentul lui 10.
- Să se specifice precizia.



### 1.2.5. Erori absolute și erori relative

În cazul în care apar erori este important să existe modalități pentru a determina magnitudinea acestora. *Eroarea absolută* este dată de valoarea absolută a diferenței dintre rezultatul calculat și cel exact/corect. *Eroarea relativă* se determină prin împărțirea valorii absolute a diferenței raportat la valoarea exactă (presupunând că nu este zero). Eroarea relativă se reprezintă în general ca și procent ex. o eroare de 0.04 se reprezintă ca și 4%.

Deci, dacă valoare corectă o notăm ,corect' și cea calculată o notăm ,calculat' avem:

eroarea absolută =  $| \text{corect} - \text{calculat} |$

eroarea relativă =  $(\text{eroarea absolută}) / | \text{corect} | = | \text{corect} - \text{calculat} | / | \text{corect} |$

sau

eroarea relativă =  $(\text{eroarea absolută}) / | \text{corect} | \times 100\% = | \text{corect} - \text{calculat} | / | \text{corect} | \times 100\%$

presupunând  $\text{corect} \neq 0$ .

**Exemplul 1.** Presupunem că un calculator are precizia 3 – cea ce înseamnă că permite reprezentarea a doar 3 cifre semnificative și *truchează* biții mai puțin semnificativi dacă sunt mai mulți decât 3. (Acesta este doar un exemplu și pentru a simplifica calculul s-a făcut această presupunere, în realitate calculatoarele au precizie mult mai mare).

*Trunchierea* reprezintă eliminarea biților mai puțin semnificativi în afară de cei  $n$  permiși.

Ca și exemplu vom calcula eroarea relativă și absolută pentru înmulțirea  $(0,356 \times 10^8)(0,228 \times 10^{-3})$ . Rezultatul exact este:

$$(0,356 \times 10^8)(0,228 \times 10^{-3}) = (0,356)(0,228)(10^8)(10^{-3}) = 0,081168 \times 10^5.$$

În formă normalizată se obține:  $0,81168 \times 10^4$ .

Din cauza limitării de precizie calculatorul va returna rezultatul  $0,811 \times 10^4$ .

Astfel eroarea absolută este:

$$| \text{corect} - \text{calculat} | = | 0,81168 \times 10^4 - 0,811 \times 10^4 | = 0,00068 \times 10^4 = 6.8$$

iar eroarea relativă:

$$(0,00068 \times 10^4) / (0,81168 \times 10^4) = 0,0008378 = 0,08378\%.$$

**Întrebări recapitulative 2.** Pentru valorile (i) 6,239; (ii) 0,312 să se calculeze:

- Eroarea absolută în cazul în care se truchează la 2 cifre.
- Eroarea relativă (exprimați rezultatele în procente).

### 1.2.6. Erori round-off

În unele cazuri calculatoarele pot să *rotunjească* valorile în loc să le trucheze pentru a corespunde unei precizii predefinite. Pentru ca valoarea  $0,81168 \times 10^4$  să fie rotunjită cu o precizie de 3 cifre se analizează valoarea celei de a patra valori – în cazul acesta 6. Dacă cifra e mai mică decât 5 se *rotunjește în jos* iar dacă este mai mare sau egală se *rotunjește în sus*. Astfel  $0,81168 \times 10^4$  respectiv  $0,81158 \times 10^4$  rotunjite devin  $0,812 \times 10^4$  iar  $0,81138 \times 10^4$  devine  $0,811 \times 10^4$ .

**Întrebări recapitulative 3.** Rotunjiți valorile care urmează știind că valoarea preciziei este 2:

a.  $0,93742 \times 10^{-5}$

b.  $0,93472 \times 10^{-5}$

c.  $0,93572 \times 10^{-5}$

**Exemplul 2.** În urma unei instrucțiuni de atribuire cum ar fi  $x = 1.0 / 3.0$  (în programe ca și C, C++, Java) calculatorul va memora la locația lui  $x$  valoarea reală  $1/3 = 0,333\dots$ . Același lucru se întâmplă pentru un program cum este Excel unde dacă într-o celulă s-a introdus  $=1/3$  se va memora rezultatul împărțirii. Dacă calculatorul poate memora doar cu o precizie de 3 cifre, calculatorul va rotunji sau trunchia rezultatul la valoarea 0,333.

Eroarea *round-off* este dată tocmai de acest fapt – calculatorul nu are alocați suficienți biți pentru a memora numărul real în întregime și atunci utilizează cel mai apropiat număr care poate fi reprezentat.

### 1.2.7. Erori overflow și underflow

Aceste erori sunt de asemenea determinate de spațiul limitat de memorare cu care se lucrează. De exemplu dacă se lucrează cu un calculator foarte mic care utilizează doar 16 biți pentru a reprezenta un întreg, dacă dorim să adunăm  $20480 + 16384$  în mod surprinzător rezultatul va fi un număr negativ, adică -28672. Problema apare deoarece cel mai semnificativ bit devine 1 dat fiind transportul de pe nivelul precedent. Dar cum pentru numerele întregi bitul cel mai semnificativ este bit de semn rezultatul este explicabil. Eroarea *overflow* apare de asemenea în cazul în care se adună două numere negative mari și se obține un rezultat pozitiv.

O eroare de tip overflow a cauzat pierderea rachetei Ariane 5 a Agenției Spațiale Europene în 1996. La mai puțin de 37 de secunde de la lansare sistemul de ghidare a încercat să transforme viteza circulară dintr-o valoare float pe 64 de biți într-un întreg de 16 biți. Deoarece numărul a fost prea mare a rezultat o depășire a domeniului – o eroare overflow. Sistemul de ghidaj a încercat să corecteze poziția (dintr-una presupus ca fiind greșită – care oricum nu fusese atinsă) și foarte curând racheta a trebuit să se autodistrugă. O eroare overflow dată de doar câțiva biți a cauzat pierderea unei rachete în care s-au investit zece ani de cercetare și șapte miliarde de dolari pentru dezvoltare.

Erorile *underflow* apar când o valoare este prea mică pentru a fi reprezentată corect. De exemplu dacă un calculator permite reprezentarea unor valori de magnitudine  $10^{-39}$  și rezultatul unei operații este de magnitudine  $10^{-48}$  din cauza acestei erori rezultatul returnat va fi 0.

### 1.2.8. Erori aritmetice

Erori pot să apară la adunarea numerelor. Astfel dacă se realizează adunarea, spre deosebire de înmulțire, trebuie să se realizeze alinierea virgulei zecimale. Spre exemplu, pentru o precizie de 3 cifre, dacă se adună  $(0,684 \times 10^3) + (0,950 \times 10^{-2})$  avem:

$$\begin{array}{r} 0,684 \times 10^3 = 684,0000 \\ 0,950 \times 10^{-2} = \quad +,0095 \\ \hline 684,0095 \end{array}$$

La normalizarea rezultatului se obține  $0,684 \times 10^3$ , astfel se pierde influența celui de-al doilea termen  $0,950 \times 10^{-2}$ .

**Întrebări recapitulative 4.** Presupunem că un calculator rotunjește numerele în virgulă flotantă la 4 cifre semnificative. Calculați expresia  $(0.1235 \times 10^2) + (0.2499 \times 10^{-1})$  fără a utiliza pentru rezultat forma exponențială.

Date fiind problemele generate de diferența de magnitudine, este de preferat să se realizeze operațiile asupra numerelor mici prima dată și apoi să se combine cu cele mari. Astfel valorile mici au o șansă se devină semnificative înainte de operațiile cu cele mari.

În mod similar, în cazul înmulțirii și împărțirii, pentru a evita pierderile de precizie, este de preferat să se realizeze toate înmulțirile de la numărător înainte de a se împărți la numitor. De exemplu, în cazul calculatorului nostru care rotunjește la 3 biți semnificativi, calculăm expresia  $(x/y)z$ , unde  $x=2,41$ ,  $y=9,75$ ,  $z=1,54$ . Rezultatul lui  $x/y$  este 0,247179 și se rotunjește la 0,247, și înmulțit cu  $z$  se obține  $(x/y)z = (0,247)(1,54) = 0,38038$ , sau 0,380 după rotunjire. În schimb deoarece d.p.d.v. matematic  $(x/y)z = (xz)/y$ , efectuând înmulțirea prima dată se obține  $(xz)/y = 3,71/9,75 = 0,380513$ , rotunjit la 0,381. Ultima valoare este mai apropiată de cea corectă de 0,380656...

Totuși, dacă în cazul înmulțirilor urmate de împărțiri sunt șanse să se producă erori overflow, pentru exemplu  $(xz)/y$  este de recomandat ca operațiile să se realizeze în ordinea inițială, adică  $(x/y)z$ .

**Întrebări recapitulative 5.** Presupune ca variabilele  $r$ ,  $u$ ,  $x$ ,  $y$ , și  $z$  sunt numere reprezentate cu virgula flotantă. Scrieți următoarea expresie astfel încât să se reducă erorile date de round-off, presupunând ca nu sunt probleme de generate de overflow sau underflow:

$$\left(\frac{3}{z}\right) \left(r\right) \left(\frac{x+y}{u}\right)$$

### 1.2.9. Propagarea erorilor

Buclele unui program, instrucțiunile iterative care conțin operații aritmetice cu valori exprimate în virgulă flotantă pot determina erori de tip round-off.

Acumularea unor astfel de erori poate avea consecințe dezastruoase. Ca și exemplu servește situația din 1991 când în războiul din Golf sistemele antirachetă Patriot (ale USA) nu au interceptat o rachetă Scud cauzând moartea a 28 de soldați și rănirea a peste o sută în Dharan, Arabia Saudită. Acest dezastru s-a datorat acumulării de erori. Deoarece ceasul intern al sistemului Patriot măsoară timpul în zeci de secunde, pentru a obține valorile în secunde se înmulțea numărul de impulsuri furnizate de ceas cu 1/10. Cum rezultatele se memorau pe 24 de biți și operațiile se realizau în binar sistemul nu a putut păstra în întregime valorile. Astfel fiecare zecime de secundă determina o eroare de 0,000 000 095 sec. La momentul dezastrului, sistemul patriot opera de aproximativ 100h fără întreruperi (re-boot-are) și aceasta a cauzat un decalaj față de timpul real de  $(100\text{hrs})(60\text{min/hr})(60\text{sec/min})(10 \text{ impulsuri/sec}) (0.000 000 095 \text{ sec/impuls}) = 0,34 \text{ sec}$ . Pe parcursul acelei treimi de secundă racheta Scud a zburat aproximativ 1676 metri, fiind departe de locul unde ar fi putut fi interceptată.

**Exemplul 3.** În multe aplicații, care monitorizează diferite procese la intervale constante de timp, momentul măsurării este determinat de expresii de genul  $t=t+dt$ , unde  $t$  apoi, din partea dreaptă, ajunge în partea stângă pentru următoarea iterație. De exemplu, presupunem că iterația este repetată de 600 de ori, spațiul de stocare este limitat și este nevoie și de o conversie în baza 2. Astfel pentru  $dt$  care în loc să fie de 0,1 secunde este de 0,09961=0,9961  $\times 10^{-1}$ , pe măsura ce bucla se execută, eroarea propagată crește. Astfel la iterația 11 chiar dacă

valoarea ar trebui să fie  $(11)(0,09961) = 1.09571$ , pentru un calculator cu precizia 4, valoarea rotunjită este 1,096, eroarea absolută este de 0,00029, iar cea relativă de aproximativ 0,026%. După iterația 51, eroarea relativă este de 0,3128% și este de aproximativ 30 de ori mai mare decât cea din iterația a doua.

Pentru a evita acumularea erorilor în buclele unor programe,  $t$  trebuie calculat înmulțind indexul cu valoarea lui  $dt$  astfel  $t=i*dt$ . Eroarea round-off mai există, dar efectul ei este minimizat deoarece nu se acumulează. Pentru a se compara rezultatele se poate completa un tabel și se pot calcula valorile lui  $t$  pentru diferite valori ale indexului  $i$  utilizând ambele formule de calcul.

În general, în instrucțiuni iterative, este recomandat să se evite acumularea unor valori în virgulă flotantă prin adunări sau scăderi repetate.

**Întrebări recapitulative 6.** Care dintre atribuirile de mai jos sunt mai potrivite (dacă există vreo diferență) într-o buclă cu indexul  $k$  având valoarea inițială 1. Variabila  $sum$  a fost inițializată deja la 0 înainte de buclă.

- a.  $sum = sum + 0.00492$
- b.  $sum = 0.00492 * k$
- c. nu contează.

#### 1.2.10. Nerespectarea proprietăților numerelor

În secțiunea despre erori aritmetice am văzut că proprietățile numerelor nu sunt îndeplinite întotdeauna în aritmetica calculatoarelor (ex. chiar dacă  $(x/y)z = (xz)/y$ , am văzut că cele două expresii nu generează același rezultat în unele cazuri în implementările pe calculator). Alte proprietăți nerespectate sunt asociativitatea - adică  $(a + b) + c = a + (b + c)$ , și  $(ab)c = a(bc)$  - respectiv distributivitatea - adică  $a(b + c) = ab + ac$ . În cazul calculatoarelor, dacă  $a$  și  $b$  sunt foarte mici în comparație cu  $c$  atunci aceste proprietăți sunt încălcate.

**Întrebări recapitulative 7.** Arătați că distributivitatea nu este respectată pentru expresiile  $x(y + z)$  și  $xy + xz$  pentru  $x=2,48$ ,  $y=9,34$ ,  $z=1,55$  când se utilizează o mașină care trunchiază rezultatul final și cele intermediare după 2 cifre.

#### 1.2.11. Compararea numerelor în virgulă flotantă

Datorită numeroaselor erori care pot să apară în implementarea operațiilor cu numere reale, compararea numerelor reale trebuie evitată. Astfel, pentru a realiza aceeași funcționalitate, acceptând o marjă de eroare, este de preferat să se folosească expresii de genul:

„dacă  $|x - z| < 0,001$ , considerăm că  $x$  și  $z$  sunt identice.”, (1)

unde 0.001 este o valoare folosită pentru a exprima diferența acceptată dintre valori (în valoare absolută) și faptul că sistemul folosește doar trei cifre semnificative pentru reprezentare.

**Întrebări recapitulative 8.** Scrieți o expresie similară celei notate cu (1) pentru a compara două valori în virgulă flotantă, diferența acceptată fiind de 0,000 001.

### 1.2.12. Erori de trunchiere

Am observat deja că utilizând tehnica de calcul nu pot fi memorate corect numere de precizie infinită. Același lucru este valabil și pentru calcularea unor expresii cu un număr infinit de termeni. Să considerăm cazul numărului lui Euler  $e$  la puterea  $x$ , care este definit:

$$e^x = 1 + x + \frac{x^2}{1 \cdot 2} + \frac{x^3}{1 \cdot 2 \cdot 3} + \frac{x^4}{1 \cdot 2 \cdot 3 \cdot 4} + \dots + \frac{x^n}{n!} + \dots$$

Astfel, evaluarea expresiei  $e^1 = e$ , care are valoarea 2,718281828459045... este identică cu rezultatul evaluării expresiei de mai jos, unde  $x$  din expresia generală a fost înlocuit cu 1:

$$e = 1 + 1 + \frac{1}{1 \cdot 2} + \frac{1}{1 \cdot 2 \cdot 3} + \frac{1}{1 \cdot 2 \cdot 3 \cdot 4} + \dots + \frac{1}{n!} + \dots$$

O mașină nu poate realiza un număr infinit de adunări de astfel de termeni. De aceea, de exemplu, după 20 de adunări se obține doar un rezultat parțial. Astfel, termenul  $1/(21!)$  nu este inclus în rezultat și nici următorii, rezultând o eroare de trunchiere de aproximativ  $2,05 \times 10^{-20}$ .

Astfel, *eroarea de trunchiere* este dată de calcularea unui număr finit de operații în locul unui număr infinit de operații ale unei serii.

**Întrebări recapitulative 8.** Pe baza calculelor se știe că  $\sin(x)$  este dată de următoarea expresie:

$$\sin(x) = x - \frac{x^3}{3!} + \frac{x^5}{5!} - \frac{x^7}{7!} + \dots$$

- Calculați  $\sin(2)$  pentru seria trunchiată la 2 termeni.
- Precizați eroarea pentru această aproximare.

### 1.3. Exerciții propuse

Scrieți valorile de la exercițiile 1 – 12 în formă exponențială normalizată.

- |           |              |                           |                        |
|-----------|--------------|---------------------------|------------------------|
| 1. 63,850 | 2. 29,748    | 3. 0,00032                | 4. $53,7 \times 10^3$  |
| 5. 0,496  | 6. 0,0000017 | 7. $0,009 \times 10^{-5}$ | 8. $0,009 \times 10^5$ |
| 9. -0,82  | 10. -82      | 11. -0,00082              | 12. 4,4                |

13. Precizați magnitudinea și precizia pentru  $0,743621 \times 10^{25}$ .

14. Precizați magnitudinea și precizia pentru  $93,6 \times 10^7$ .

15. Care este precizia și cea mai mare magnitudine care poate fi utilizată de un calculator care permite 8 cifre semnificative și cea mai mare putere a lui 10 este 125?

Specificați numărul de cifre semnificative precum și cele mai semnificative cifre pentru exercițiile 16 – 21.

- |            |                        |              |
|------------|------------------------|--------------|
| 16. 63,850 | 17. 29,004             | 18. 0,00074  |
| 19. $10^3$ | 20. $4 \times 10^{-5}$ | 21. 0,300500 |

22. Specificați mărimea/magnitudinea unor numere normalizate pozitive în cazul cărora parte semnificativă are 3 cifre și exponentul lui 10 poate varia între -5 și +5.

23. Specificați mărimea/magnitudinea unor numere normalizate pozitive în cazul cărora parte semnificativă are 7 cifre și exponentul lui 10 poate varia între -78 și +73.

Pentru exercițiile 24-26 determinați (a) eroarea absolută și (b) eroarea relativă a fiecărei valori dat fiind că se folosește o rotunjire la două cifre zecimale. După aceea să se determine (c) eroarea absolută și (d) eroarea relativă dacă se folosește trunchierea după două poziții zecimale.

24. 6,239                      25. 6,231                      26. 1,0/3,0 memorat cu 5 cifre semnificative

27. a. Calculați  $(9,4 \times 10^{-5}) + (3,6 \times 10^4)$ . Reprezentați rezultatul în formă normalizată exponențială.

b. Rotunjiți rezultatul utilizând doar 5 cifre semnificative.

c. Calculați eroarea absolută pentru b.

d. Calculați eroarea relativă pentru b.

28. Repetați exercițiul 27 pentru expresia  $(0,7 \times 10^3) - (0,825 \times 10^2)$ . Utilizați 3 cifre semnificative în loc de 5 pentru punctele b, c și d.

29. Presupunem că se execută următoarea secvență de cod:  $x = 6,239$ ;  $x = x + x$ . Pentru o mașină care trunchiază după 3 cifre semnificative, dați valorile lui  $x$  după fiecare instrucțiune și eroarea relativă după ultima instrucțiune. Comparați eroarea cu rezultatul de la exercițiul 24.

30. a. Cu o aplicație de calcul evaluați următoarea expresie:

$$10000000000000000, + 1, -10000000000000000,$$

adică  $1,0 \times 10^{16} + 1, - 1,0 \times 10^{16}$ .

b. Care ar trebui să fie rezultatul?

c. Explicați ce s-a întâmplat.

31. Utilizând o aplicație de calcul (de exemplu Excel) evaluați următoarele expresii pentru  $t = 355/113$ ,  $r = 101/113$  și  $s = 52/113$ :  $t - s - r - r - r$ ,  $t - r - r - r - s$ ,  $t - r - r - s - r$ ,  $t - r - 2r - s$ ,  $t - r - s - r - r$ ,  $t - 2r - r - s$ ,  $t - 3r - s$ ,  $t - r - s - 2r$ . Utilizând cunoștințele de matematică, care sunt valorile acestor expresii? Care proprietate (proprietăți) algebrice sunt încălcate?

32. Pe baza calculelor se știe că funcția  $\cos(x)$  este dată de următoarea serie infinită:

$$\cos(x) = 1 - \frac{x^2}{2!} + \frac{x^4}{4!} - \frac{x^6}{6!} + \dots$$

a. Calculați  $\cos(2)$  pentru seria trunchiată la 3 termeni.

b. Calculați  $\cos(2)$  pentru seria de mai sus până când aproximările succesive sunt identice pentru primele 4 cifre semnificative. Dați acea valoare.

## 2. Analiza sistemelor

---

### 2.1. Prezentarea lucrării

După reluarea unor noțiuni de la curs referitoare la clasificarea sistemelor, în cadrul acestei lucrări sunt propuse probleme de analiză a sistemelor – se cere construirea unor diagrame de timp și compararea efortului de procesare în funcție de modelul ales – condus de timp sau de evenimente.

### 2.2. Clasificarea sistemelor

Prima etapă a procesului de modelare este dedicată analizei problemei/sistemului modelat. În aceasta etapă de analiză se identifică cel mai potrivit model (figura 2.1) pentru a descrie problema/sistemul analizat. Pentru a identifica cel mai potrivit model se analizează procesul – dacă este static sau dinamic, dacă depinde de timp sau nu, dacă este condus (directat) de timp sau evenimente, etc.

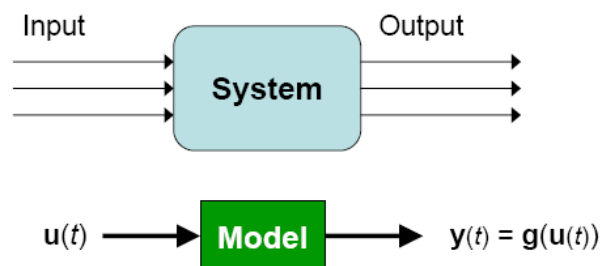


Figura 2.1. Procesul de modelare. De la sistem la model

În figura 2.2 este prezentată o clasificare a sistemelor.

Astfel, pentru modelul din figura 2.1, un sistem este considerat *static* dacă ieșirile  $y(t)$  sunt independente de valorile din trecut ale intrărilor  $u(\tau)$  unde  $\tau < t$  pentru toate valorile lui  $t$  ( $u$  și  $y$  pot fi sub formă de vector). Un sistem *dinamic* este caracterizat prin faptul că ieșirile depind în general de valorile din trecut ale intrărilor.

Pentru a face diferența între sisteme care depind de timp și cele care nu depind de timp e nevoie să răspundem la următoarea întrebare: *Ieșirea sistemului este identică pentru toate situațiile în care aceleași valori sunt aplicate pe intrări?* Deoarece răspunsul nu poate fi în general „da” trebuie să continuăm în încercarea de a clasifica sistemele. Astfel, dacă  $y = g(u, t)$  și astfel funcția de ieșire depinde de variabila de timp avem de a face cu un *sistem care depinde de timp*. Altfel, dacă funcția de ieșire nu depinde de variabila de timp  $t$  discutăm despre un *sistem independent de timp*.

Conceptul de *stare* pentru un sistem descrie „comportamentul” acestuia la momentul de timp  $t$ . Astfel, dacă vectorul de intrare  $u(t)$  este complet specificat pentru orice moment de timp  $t \geq t_0$ , *starea* sistemului la momentul  $t_0$  constă în suma informațiilor de la momentul  $t_0$  necesare pentru a determina în mod unic ieșirea  $y(t)$  pentru toate momentele de timp  $t \geq t_0$ .

Considerând  $u(t)$  și  $y(t)$  vectori, starea va fi de asemenea un vector pe care îl notăm cu  $x(t)$ . Componentele vectorului  $x(t)$ , adică  $x_1(t)$ ,  $x_2(t)$  etc. se numesc *variabile de stare*.

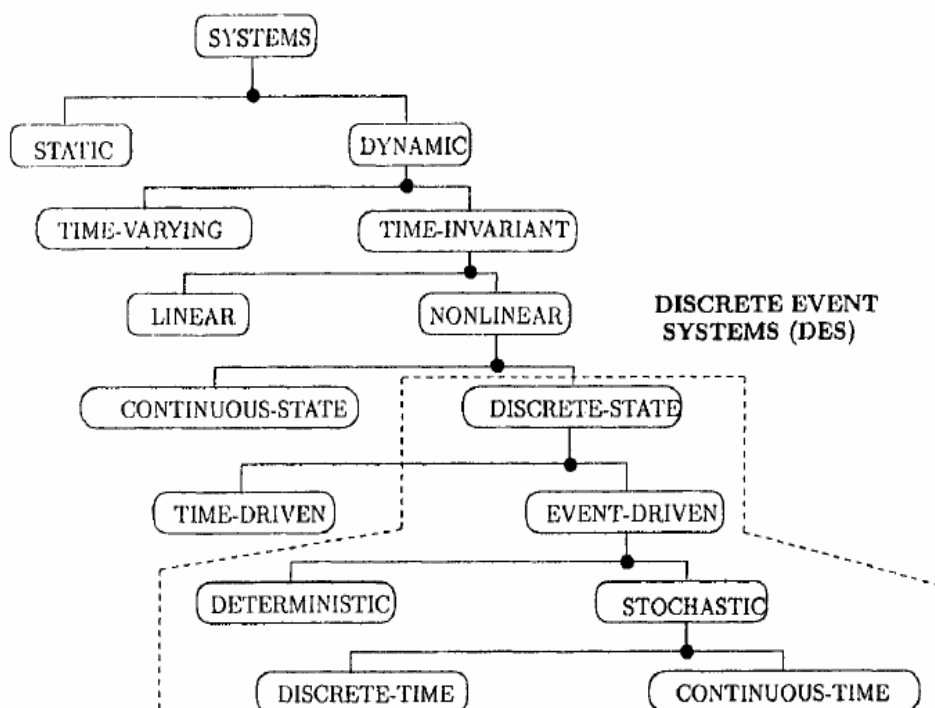


Figura 2.2. Clasificarea sistemelor<sup>1</sup>

Setul de ecuații necesare pentru a descrie stările  $x(t)$  pentru toate momentele de timp  $t \geq t_0$  când se cunosc  $x(t_0)$  și funcția  $u(t)$ , pentru toate momentele de timp  $t \geq t_0$ , se numesc *ecuații de stare*. Spațiul stărilor pentru un sistem, de obicei notat cu  $X$ , este format din totalitatea stărilor pe care sistemul le poate avea. Astfel, pentru ecuațiile de stare putem avea următoarea expresie diferențială:  $\dot{x}(t) = f(x(t), u(t), t)$ , unde  $x(t_0) = x_0$  (figura 2.3).

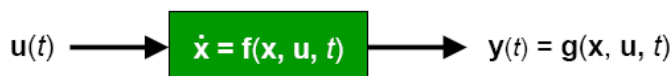


Figura 2.3. Intrările, ecuațiile de stare și funcțiile de ieșire

În funcție de forma funcțiilor  $f$  și  $g$ , utilizate pentru a determina starea următoare a sistemului respectiv ieșirile sistemului, putem să clasificăm sistemul ca fiind linear sau neliniar. O funcție  $g$  spunem că este *lineară* dacă și numai dacă pentru funcția  $g : U \rightarrow Y$ , cu  $u$  și  $v$  aparținând lui  $U$ , avem  $g(au+bv) = ag(u) + bg(v)$  pentru oricare numere reale  $a$  și  $b$ . Astfel, despre un sistem spunem că este *linear* dacă și numai dacă ambele funcții  $f$  și  $g$  sunt funcții lineare.

<sup>1</sup> *Introduction to Discrete Event Systems, second edition*, Christos G. Cassandras & Stephane LaFortune, Springer, 2008



Pornind de la spațiul stărilor unui sistem se mai poate face o clasificare. Modelul poate avea *spațiul stărilor continuu*, de exemplu cazul în care  $X$  poate lua orice valoare reală (figura 2.4) sau poate avea *spațiul stărilor discret*, de exemplu cazul în care  $X$  poate lua doar valori întregi sau naturale (numărul de obiecte de inventar dintr-un depozit este întotdeauna întreg).

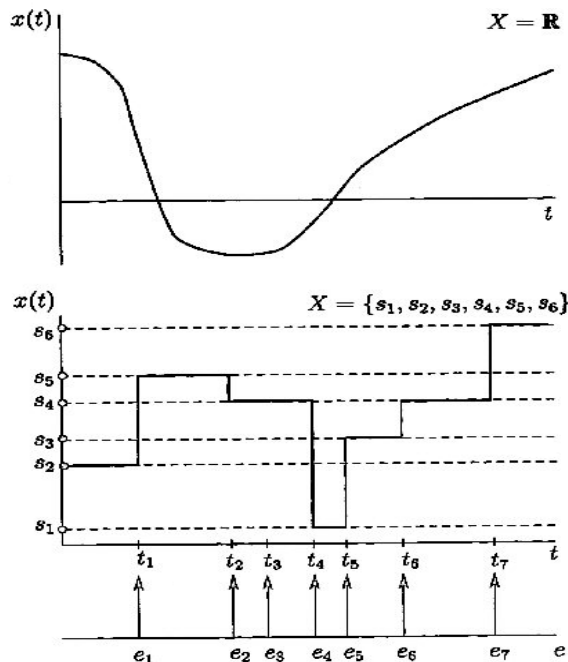


Figura 2.4. Spațiul stărilor. Spațiu continuu vs. spațiu discret<sup>1</sup>

Un sistem este *stochastic* (sau probabilistic) dacă cel puțin o variabilă de ieșire este aleatoare. Altfel, sistemul este *determinist*.

Dacă pentru un sistem sunt definite variabilele de intrare și cele de ieșire doar la intervale discrete de timp, sistemul se numește *sistem cu timp discret*, altfel el se numește *sistem cu timp continuu*.

În plus, dacă tranziția de la o stare la alta este dată de evenimente, vorbim despre *sisteme directate (conduse) de evenimente* spre deosebire de sistemele *directate de timp*, unde tranzițiile sunt sincronizate cu o temporizare (cu un ceas care e responsabil de declanșarea tranzițiilor). Este mai greu de modelat sistemele directate de evenimente; evenimentele pot fi comparate prin analogie cu întreruperile pentru sistemele de calcul.

### 2.3. Sisteme cu evenimente discrete (DES)

Prin *Sistem cu Evenimente Discrete (DES – Discrete Event System)* înțelegem un sistem care îndeplinește simultan următoarele condiții:

- (a) spațiul stărilor este o mulțime discretă iar
- (b) mecanismul de declanșare a tranzițiilor este determinat de evenimente.

Deci, DES este un sistem directat de eveniment și care are un spațiu al stărilor discret. Evoluția de la o stare la alta se realizează doar la apariția unui eveniment (ex. stările unei

mașini pot fi ex. {ON, OFF}; {IDLE, BUSY, DOWN}, și stările la rândul lor pot fi divizate iar evenimentele pot fi apăsarea unui buton, selectarea unei comenzi, etc.).

## 2.4. Sisteme cu cozi de așteptare (queueing systems)

Sunt trei elemente de bază care definesc o coadă de așteptare:

- entitățile care ‘așteaptă’, sau *clienții* (oameni în stația de autobuz, mesaje în mediul de comunicare, tranzacții executate pe PC, produse parțial finisate, mașini pe șosea, avioane la decolare...);
- resursele pentru care se așteaptă, sau *servere* (autobuze, vânzători în magazin, canale de comunicare, procesoare, periferice, utilaje, semafoare...)
- spațiul de așteptare, *șirul sau coada de așteptare* (stații de așteptare, depozite, buffer-e...).

Motivația utilizării sistemelor cu cozi de așteptare e dată de limitarea resurselor care necesită alocarea acestora în mod echitabil. Astfel e nevoie ca (a) resursele să fie corect și eficient alocate pentru toți clienții, (b) clienții să fie serviți, (c) costul de proiectare și mentenanța să fie acceptabil. Sistemele cu cozi de așteptare sunt caracterizate prin lungimea cozii (lungimea șirului – numărul maxim de clienți în așteptare) și regula cozii – ex. FIFO etc.

În figura 2.5 este reprezentat un sistem, care procesează componente, cu două servere (1 și 2) și cu două cozi de așteptare, cea din partea stângă de capacitate infinită iar cea dintre servere cu un buffer pentru 2 componente (a doua coadă având capacitatea 3, capacitatea fiind dată inclusiv de componenta în lucru la serverul 2).

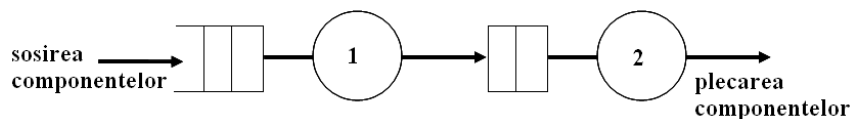


Figura 2.5. Sistem cu coadă de așteptare

În această lucrare, cu ajutorul unor probleme, vom evidenția diferența dintre procesele conduse de evenimente și cele conduse de timp.

## 2.5. Probleme propuse

1. Un sistem de calcul dispune de două procesoare  $P_1$  respectiv  $P_2$  care funcționează în paralel. Procesul prin care se atribuie task-urile poate fi descris în timp discret astfel:  $a(t)$ ,  $t=0, 1, 2, \dots$ , unde  $a(t)=1$  dacă este trimis un task la momentul  $t$ , respectiv,  $a(t)=0$  dacă nu s-a trimis nici un task la momentul  $t$  respectiv. Presupunem ca procesul este specificat pentru intervalul  $t=0, 1, \dots, 10$  astfel:  $\{1, 1, 1, 0, 1, 0, 1, 1, 0, 0, 1\}$ . Sistemul de calcul folosește următoarea regulă pentru atribuirea task-ului sosit: alternează între cele două procesoare, primul task fiind atribuit procesorului  $P_1$  (cel de-al doilea pentru  $P_2$ , următorul pentru  $P_1$ , etc.). Se presupune că dacă un task sosește la oricare dintre procesoare și procesorul este ocupat, task-ul va sta în șirul/coada de așteptare a procesorului (cozile de așteptare au capacitate infinită). Timpul de procesare al lui  $P_1$  alternează între 4 unități de timp și o unitate de timp (4 unități de timp pentru primul task executat, o unitate de timp pentru al doilea task, etc.), în timp ce pentru procesorul  $P_2$  timpul de procesare este de 2 unități de timp și rămâne constant.

Fie  $y(t)$  numărul total de clienți care au plecat de la sistem la momentul  $t$ , și  $x_1(t)$  respectiv  $x_2(t)$  lungimile șirurilor de așteptare ale celor două procesoare  $P_1$  respectiv  $P_2$  (inclusiv task-ul

în lucru). Dacă mai multe evenimente se produc la momentul  $t$  valoarea acestor variabile este determinată chiar imediat după ce au loc evenimentele.

(a) Desenați o diagramă de timp pentru intervalul  $t=0, 1, \dots, 10$  indicând exact sosirile (s) și plecările (p), știind că la momentul inițial, chiar înainte de sosirea primului task pentru procesare, valorile cozilor de așteptare sunt  $x_1(0)=x_2(0)=y(0)=0$ .

(b) Construiți un tabel cu valorile pentru  $x_1(t)$ ,  $x_2(t)$  și  $y(t)$  pentru intervalul  $t=0, 1, \dots, 10$ .

(c) Presupunem de acum încolo că se lucrează pe domeniul de timp continuu. Sosirile au loc la momentele de timp 0.1, 0.7, 2.2, 5.2 și 9.9. Timpul de procesare pentru  $P_1$  alternează între 4.2 și 1.1 în timp ce pentru procesul  $P_2$  timpul de procesare este de 2.0 unități de timp. Considerăm un model condus de evenimente cu mulțimea evenimentelor  $E=\{s, p_1, p_2\}$  unde  $s$  reprezintă sosirea unui task,  $p_i$  reprezintă plecări de la  $P_i$  ( $i=1,2$ ). Construiți un tabel cu valorile lui  $x_1(k)$ ,  $x_2(k)$ ,  $y(k)$  și  $t(k)$  unde  $x_1(k)$ ,  $x_2(k)$ ,  $y(k)$  sunt lungimile șirurilor de așteptare ale celor două procesoare  $P_1$ ,  $P_2$  și numărul cumulat de plecări după ce a avut loc evenimentul  $k$ , iar  $t(k)$  este momentul în care evenimentul  $k$  a avut loc. Dacă au loc două evenimente în același timp, presupunem că plecarea are loc înaintea sosirii. Comparați numărul de actualizări necesare pentru acest model comparativ cu cel condus de timp cu pași de magnitudinea 0.1 unități de timp.

2. Reluați problema 1 ținând cont de câte una din următoarele două reguli de alocare a task-urilor (se păstrează presupunerea că dacă au loc două evenimente în același timp, plecarea are loc înaintea sosirii):

(a) Task-urile se alocă procesorului  $P_1$  atât timp cât șirul lui  $P_1$  de așteptare este mai mic sau egal cu 2, altfel task-ul este alocat lui  $P_2$ .

(b) Alocarea se face procesorului cu cel mai scurt șir de așteptare, în caz de egalitate task-ul este alocat lui  $P_2$ .

3. Un proces simplu de producție presupune existență a două mașini  $M_1$  și  $M_2$  și a unui robot care mută componentele finalizate de  $M_1$  la  $M_2$ . Pentru nici una dintre mașini nu există buffer. Astfel, dacă o componentă este adusă la  $M_1$  cât timp aceasta este ocupată, componenta este respinsă. Pe de altă parte, dacă robotul transportă o piesă la  $M_2$  în timp ce  $M_2$  este ocupată, robotul așteaptă până când  $M_2$  poate prelua componentă. După ce componenta este preluată de  $M_2$ , robotul are nevoie de timp pentru a putea prelua o altă piesă de la mașina  $M_1$ . Astfel,  $M_1$  poate fi forțată să păstreze o componentă finalizată și să nu preia altă componentă în lucru până când robotul este din nou disponibil.

Stările lui  $M_1$ ,  $M_2$  și respectiv a robotului sunt descrise de  $x_1$ ,  $x_2$ , și  $x_3$ . Presupunând că timpul de procesare a  $M_1$  este 0.5s, a  $M_2$  este 1.5s și robotul are nevoie de 0.2s să transporte o piesă de la  $M_1$  la  $M_2$  respectiv are nevoie de 0.1s să se întoarcă de la  $M_2$  la  $M_1$ . De asemenea presupunem că sosirea componentelor la  $M_1$  este programată la 0.1, 0.7, 1.1, 1.6 și 2.5s.

(a) Identificați toate valorile posibile (stările posibile) pe care le pot avea  $x_1$ ,  $x_2$  și  $x_3$ .

(b) Definiți mulțimea evenimentelor  $E$  (cu numărul cel mai mic de evenimente) pentru sistem.

(c) Pentru intervalul  $[0.0, 3.0]$ s construiți un tabel cu valorile lui  $x_1(k)$ ,  $x_2(k)$ ,  $x_3(k)$  și  $t(k)$ , unde  $x_1(k)$ ,  $x_2(k)$ , și  $x_3(k)$  sunt stările mașinilor  $M_1$ ,  $M_2$  și a robotului după ce evenimentul  $k$  a

avut loc,  $k=1, 2, \dots$ , și  $t(k)$  este momentul în care evenimentul  $k$  a avut loc. Dacă două evenimente au loc simultan, presupunem ca întotdeauna prima dată se finalizează o componentă și apoi vine o alta nouă.

(d) Identificați toate stările în care mașina  $M_1$  este forțată să aștepte până când robotul îndepărtează o componentă finalizată de mașina  $M_1$ .

### 3. Modele netemporizate pentru modelarea DES. Expresii regulate și automate de stări

---

#### 3.1. Despre lucrare

Pe parcursul acestei lucrări vor fi reluate unele noțiuni de la curs referitoare la modele independente de timp care pot fi utilizate în modelarea *sistemelor cu evenimente discrete* (*Discrete Event Systems - DES*). În cadrul acestei lucrări sunt propuse probleme care utilizează teoria automatelor cu stări finite iar în lucrarea următoare vor fi utilizate rețele Petri.

#### 3.2. Noțiuni utilizate. Expresii regulate și automate

Din teoria automatelor cu stări finite pentru modelarea netemporizată a DES se utilizează următoarele noțiuni:

- Dacă notăm cu  $E$  mulțimea *evenimentelor* asociate unui proces/sistem și considerăm această mulțime un *alfabet*, atunci secvențe de evenimente formează *cuvinte* (șiruri). O *secvență* de cuvinte formate pe baza alfabetului se numește *limbaj*. Un *limbaj regulat* se construiește utilizând operații asociate șirurilor: concatenare (marcată prin alăturare, fără operator), reuniune (notată cu  $+$ ), operatorul  $*$  al lui Kleene (notat cu  $A^*$  și definit mai jos, unde  $\varepsilon$  este șirul vid).

- $$A^* = \bigcup_{n=0}^{\infty} A^n, \text{ unde } A^0 = \{\varepsilon\}, \text{ si } A^n = AA^{n-1}, \text{ pentru toate valorile } n \geq 1$$

- Pentru descrierea șirurilor de evenimente se folosesc *expresii regulate* și operațiile asociate șirurilor precizate mai sus (ex.: *concatenarea* evenimentelor  $\alpha$  și  $\beta$  se notează cu  $\alpha\beta$ , *reuniunea* evenimentelor  $\alpha$  și  $\beta$  se notează cu  $\alpha+\beta$ , și *operatorul*  $*$  al lui Kleene  $\alpha^*$ , etc).

- Un *automat cu stări finite* este un dispozitiv capabil să genereze un limbaj pe baza unor reguli. Este definit de

- mulțimea evenimentelor (alfabet finit)  $E$ ,
- mulțimea finită a stărilor  $X$ ,
- o funcție de tranziție  $f$ ,
- starea inițială  $x_0$ , și
- $F$  mulțimea stărilor finale.

Un șir este recunoscut de un automat cu stări finite  $(E, X, f, x_0, F)$ , dacă cauzează o secvență de tranziții de la  $x_0$  la o stare finală  $x$  din  $F$ . Toate șirurile cu aceste proprietăți formează limbajul recunoscut de  $(E, X, f, x_0, F)$ . Există întotdeauna un automat cu stări finite care să genereze un limbaj regulat.

- În figura 3.1 este reprezentată diagrama de tranziție a stărilor pentru un automat cu stări finite.

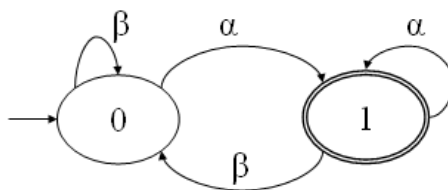


Figura 3.1. Automat cu stări finite. Exemplu

Pentru automatul din figura 3.1 elementele setului  $(E, X, f, x_0, F)$  care descriu automatul cu stări finite sunt:

$$E = \{\alpha, \beta\},$$

$$X = \{0, 1\},$$

$$f(0, \alpha) = 1, f(0, \beta) = 0, f(1, \alpha) = 1, f(1, \beta) = 0$$

$$x_0 = 0 \text{ (starea inițială marcată cu o săgeată),}$$

$F = \{1\}$  (În cazul acesta starea 1 este dublu încercuită, pentru a fi identificată ca și stare finală),

Expresia regulată care descrie diagrama din figura 3.1 este:  $(\alpha + \beta)^* \alpha$ . Această expresie reprezintă limbajul  $L = \{\alpha, \alpha\alpha, \beta\alpha, \alpha\alpha\alpha, \alpha\beta\alpha, \beta\alpha\alpha, \beta\beta\alpha, \dots\}$ , adică toate șirurile în care după  $\alpha$  sau  $\beta$  urmează întotdeauna  $\alpha$ .

- Modelul unui automat cu stări finite poate fi restrâns utilizând *agregarea* stărilor echivalente și înlocuirea lor cu una echivalentă, fără a se pierde nici o informație. Astfel, dacă același șir oarecare aplicat atât din starea  $x$  cât și din  $y$  întotdeauna duce la mulțimea de stări finale  $F$  atunci  $x$  și  $y$  pot fi considerate stări echivalente. Trebuie observat că (1) două stări, una finală și una nu – nu vor putea fi echivalente și (2) dacă  $f(x, e) = y$  și  $f(y, e) = x$  pt. orice eveniment  $e$ , atunci  $x$  și  $y$  echivalente.

- Pentru a folosi un automat ca și model independent de timp pentru modelarea DES presupunem că  $E$  și  $X$  sunt mulțimi numărabile, eliminăm specificațiile de mulțime finită pentru  $F$  și introducem definiția unor mulțimi de evenimente posibile  $\Gamma(x)$  pentru fiecare stare  $x$ . Modelul rezultat  $(E, X, \Gamma, f, x_0, F)$  este utilizat cu denumirea *automat de stare*. Setul care descrie un automat de stare este format din:

$E$  mulțimea de evenimente (numărabile),

$X$  spațiul stărilor (numărabile),

$\Gamma(x)$  mulțimea evenimentelor ‘posibile’ din starea  $x$ ,  $x \in X$ ,  $\Gamma \subseteq E$

$f$  funcția de tranziție  $f: X \times E \rightarrow X$ , definită în  $x$  doar pentru  $e \in \Gamma(x)$

$x_0$  starea inițială,  $x_0 \in X$ .

### 3.3. Probleme propuse

1. Fie alfabetul  $E = \{\alpha, \beta, \gamma\}$ . Găsiți cel puțin o

- (a) expresie regulată a limbajului L pentru care fiecare șir conține cel puțin un  $\beta$ .
- (b) expresie regulată a limbajului L pentru care fiecare șir conține exact doi  $\beta$ .
- (c) expresie regulată a limbajului L pentru care fiecare șir conține cel puțin doi  $\beta$ .
- (d) încă două expresii diferite pentru (c).

2. Fie alfabetul  $E = \{\alpha, \beta\}$ . Pentru fiecare din perechile care urmează evaluați echivalența expresiilor. Astfel, fie demonstrați că reprezintă același limbaj fie, în caz contrar, indicați un cuvânt care aparține unui limbaj și nu aparține celuiilalt:

- (a)  $(\alpha + \beta)^*$ ,  $(\alpha + \beta)^* \alpha \beta (\alpha + \beta)^* + \beta^* \alpha^*$ .
- (b)  $(\alpha^* + \beta)^*$ ,  $(\alpha + \beta)^*$ .
- (c)  $(\alpha\beta)^* \alpha\beta$ ,  $\beta(\alpha + \beta)^* \alpha\beta$ .
- (d)  $(\alpha^* \beta)^* \alpha^*$ ,  $\alpha^* (\beta \alpha^*)^*$ .

3. Fie trei limbaje  $L_1$ ,  $L_2$ ,  $L_3$ , cu  $L_1$  care nu conține șirul vid. Arătați că dacă  $L_2 = L_1 L_2 \cup L_3$ , atunci  $L_2 = L_1^* L_3$ .

4. Pe baza alfabetului  $E = \{\alpha, \beta, \gamma\}$  să se construiască câte un automat cu stări finite care să recunoască:

- (a) limbajul  $\{\alpha\beta\gamma, \alpha\beta\beta, \beta\gamma\gamma\}$ .
- (b) limbajul reprezentat prin  $(\alpha\beta)^* \gamma$ .
- (c) limbajul reprezentat prin  $\alpha(\beta\alpha)^* \alpha$ .

5. Pornind de la alfabetul limbii engleze să se construiască un automat cu stări finite, sau un automat de stare, care să recunoască cuvintele *man* și *woman*. Identificați toate elementele setului care descriu automatul cu stări finite respectiv automatul de stare reprezentat.

6. Găsiți expresia regulată pentru limbajul recunoscut de următorul automat cu stări finite.

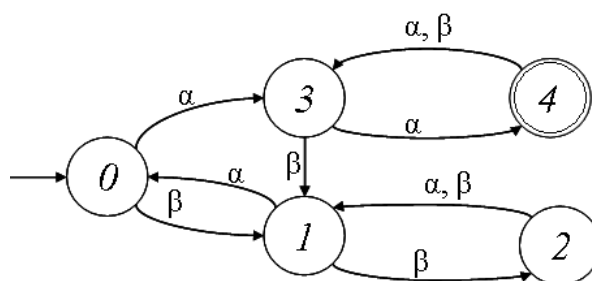


Figura 3.2 . Automatul cu stări finite pentru problema 6.

7. Un cifru pentru un seif este proiectat utilizând doar cifrele 0 și 1. Combinația care deschide seiful constă din exact 4 cifre, dintre care ultimele 2 identice (doi de 1, sau doi de 0).

Dacă combinația nu este corectă se declanșează alarma. Construiți un automat cu stări finite care să descrie procesul de deschidere a seifului.

8. Un sistem de calcul utilizează două procesoare P1 respectiv P2 care funcționează în paralel. Lungimea totală a cozilor de așteptare (incluzând elementul procesat de server) pentru P1 este  $K_1=1$ , iar pentru P2 este  $K_2=2$ . Sistemul primește două tipuri de job-uri: J1 și J2. Job-urile de tip J1 sunt procesate la P1 și cele de tip J2 trebuie procesate la P2. Când un job este procesat el părăsește sistemul. Dacă coada de așteptare este plină la sosirea unui job, atunci acel job este respins. Lungimea cozilor este notată cu  $x_1$  și respectiv  $x_2$ . Definiți un automat de stare  $(E, X, \Gamma, f, x_0, F)$  pentru sistem și construiți diagrama stărilor indicând toate evenimentele posibile.



## 4. Rețele Petri. Modele netemporizate pentru DES

### 4.1. Prezentarea lucrării

Pe parcursul acestei lucrări vor fi reluate unele noțiuni de la curs referitoare la rețelele Petri care pot fi utilizate pentru modelarea netemporizată a *sistemelor cu evenimente discrete (DES)*. La finalul lucrării sunt propuse probleme utilizând rețele Petri.

### 4.2. Rețele Petri netemporizate. Rezumatul noțiunilor utilizate

- *Rețelele Petri* pot fi folosite pentru modelarea netemporizată a DES. Pentru definirea Rețelilor Petri (RP) se utilizează:

- mulțimea finită a *locațiilor* (places)  $p_i \in P$ ,
- mulțimea finită a *tranzițiilor* (transitions)  $t_j \in T$ ,
- mulțimea arcurilor orientate  $A$ , submulțime a mulțimii  $(P \times T) \cup (T \times P)$  și
- o funcție de greutate (pondere)  $w(p_i, t_j)$  sau  $w(t_j, p_i)$  asociată fiecărui arc; funcția  $w$  fiind definită astfel  $w: A \rightarrow \{1, 2, 3, \dots\}$ .

Tranzițiile corespund *evenimentelor*, iar locațiile de intrare ale unei tranziții sunt asociate *condițiilor* care trebuie îndeplinite pentru ca tranziția/eventimentul să aibă loc.

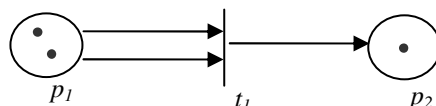


Figura 4.1. Exemplu de rețea Petri marcată.

Pentru rețeaua Petri din figura 4.1 se pot identifica:

- |                          |  |
|--------------------------|--|
| – locații (condiții)     | $P = \{p_1, p_2\}$                       |
| – tranziții (evenimente) | $T = \{t_1\}$                            |
| – arcuri                 | $A = \{(p_1, t_1), (t_1, p_2)\}$         |
| – ponderi (greutăți)     | $w(p_1, t_1) = 2$ și $w(t_1, p_2) = 1$   |
| – intrări / ieșiri       | $I(t_1) = \{p_1\}$ și $O(t_1) = \{p_2\}$ |

- Comportamentul dinamic al rețelilor Petri este descris cu ajutorul unor *jetoane* sau *marcaje* (token) plasate în locațiile care permit realizarea tranzițiilor (locațiile  $p_1$  și  $p_2$  din figura 4.1 au două respectiv un jeton). Activarea și apoi declanșarea unei tranziții cauzează „mutarea” jetoanelor. Starea unei rețele Petri este descrisă de un vector  $[x(p_1), x(p_2), \dots, x(p_n)]$ , unde  $x(p_i)$  este numărul de jetoane prezente în locația  $p_i$ .

Funcția de marcare  $x$  este definită  $x: P \rightarrow \{0, 1, 2, \dots\}$ .

Astfel pentru rețeaua Petri din figura 4.1 starea reprezentată este dată de numărul de jetoane din locații:  $x=[2, 1]$ , valoarea 2 pentru locația  $p_1$  iar valoarea 1 pentru locația  $p_2$ .

- O rețea Petri marcată este descrisă de setul  $(P, T, A, w, x_0)$ , unde
  - $P$  – mulțimea finită a locațiilor,  $p_i \in P$
  - $T$  – mulțimea finită a tranzițiilor,  $t_i \in T$
  - $A$  – mulțimea arcurilor, submulțime a mulțimii  $(P \times T) \cup (T \times P)$
  - $w$  – funcția de pondere  $w: A \rightarrow \{1, 2, 3, \dots\}$
  - $x_0$  – marcarea inițială.
- O tranziție este *validată* dacă  $x(p_i) \geq w(p_i, t_j)$  (numărul de jetoane a locației de intrare este mai mare sau egal decât ponderea conexiunii de la locație la tranziția analizată pentru toate locațiile de intrare ale tranziției analizate) pentru toate  $p_i \in I(t_i)$ . În rețeaua din figura 4.1 tranziția  $t_1$  este validată deoarece în locația  $p_1$  (singura locație de intrare) sunt cel puțin 2 jetoane (cel puțin ponderea conexiunii  $(p_i, t_j)$ ).
- Când o tranziție este validată, ea poate să se *declanșeze* (fire), ceea ce determină schimbarea marcajului (și implicit a stării).
- Pentru o rețea Petri descrisă de  $(P, T, A, w, x_0)$  se definește *funcția de tranziție a stărilor*  $f$  pentru tranziția  $t_j \in T$ ,  $f: \{1, 2, \dots\}^n \times T \rightarrow \{1, 2, \dots\}^n$  dacă și numai dacă
  - (a)  $x(p_i) \geq w(p_i, t_j)$  pentru toate locațiile  $p_i \in I(t_j)$  și
  - (b) dacă  $f(x, t_j)$  este definită, atunci stabilim  $x' = f(x, t_j)$  unde
 
$$x'(p_i) = x(p_i) - w(p_i, t_j) + w(t_j, p_i), i=1, \dots, n.$$
- Este întotdeauna posibil să se obțină o rețea Petri dintr-un automat cu stări finite. Deși rețelele Petri sunt modele cu care se lucrează mai greu, datorită complexității, ele pot fi utilizate pentru modelarea unor DES mult mai generale/ample.
- *Arborele de acoperire* poate fi utilizat pentru rezolvarea multor problemelor funcționale de bază legate de modelarea independentă de timp a DES, cum ar fi: acoperirea, delimitarea și conservarea. Pentru un DES cu mulțimea stărilor finită, arborele de acoperire devine arbore de accesibilitate.

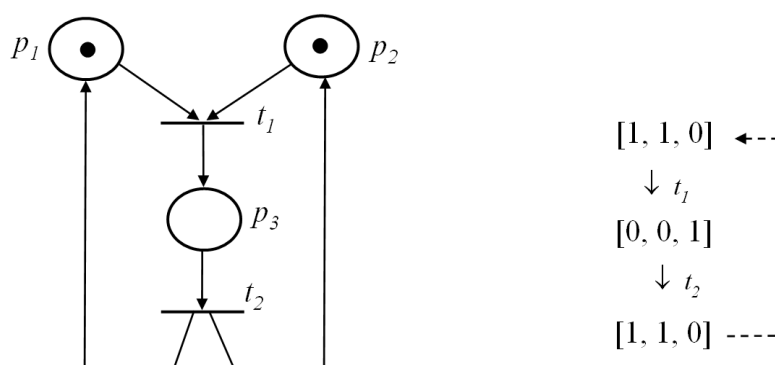


Figura 4.2. Exemplu de rețea Petri marcată.

Figurii 4.2 prezintă graful unei rețele Petri (partea stângă) și arborele de acoperire corespunzător (în partea dreaptă).

Pentru descrierea *arborelui de acoperire* se utilizează următoarele noțiuni:

- *nod rădăcină* - primul nod, corespunzător stării inițiale
- *nod terminal* - nod din care nici o tranziție nu mai poate fi declanșată
- *nod duplicat* - identic cu un altul existent în arbore (spre care duce linia întreruptă)
- *dominanța nodurilor* - dacă  $x=[x(p_1), x(p_2), \dots, x(p_n)]$  și  $y=[y(p_1), y(p_2), \dots, y(p_n)]$  sunt 2 stări, noduri ale arborelui de acoperire,  $x$  *domină pe*  $y$  (scris  $x >_d y$ ) dacă sunt îndeplinite condițiile:

(a)  $x(p_i) \geq y(p_i)$ , pentru toți  $i=1, \dots, n$

(b)  $x(p_i) > y(p_i)$ , măcar pentru câțiva  $i=1, \dots, n$

De exemplu  $[1, 0, 2, 0] >_d [1, 0, 1, 0]$ , deoarece locația a treia în prima stare (dominantă), prin numărul de jetoane 2, domină a doua stare care are tot pentru locația a treia doar un jeton.

– *simbolul  $\omega$* , marcaj pentru infinit într-o rețea nemărginită,  $[1, 0, 1, 0] \rightarrow [1, 0, \omega, 0]$ , când marcajul ar crește la infinit.

- Algoritmul de realizare a arborelui de acoperire este descris în continuare:
- Pasul 1 – se inițializează  $x=x_0$  (starea inițială),
- Pasul 2 – pentru fiecare nod nou se evaluează funcția de tranziție  $f(x, t_j)$  pentru toți  $t_j \in T$ ,
  - Pasul 2.1 – dacă  $f(x, t_j)$  este nedefinită pentru toți  $t_j \in T$  (nici o tranziție nu e validată) atunci  $x$  e nod terminal,
  - Pasul 2.2 – dacă  $f(x, t_j)$  este definită pentru unii  $t_j \in T$  atunci se creează nod nou pentru  $x' = f(x, t_j)$  apoi,
    - Pasul 2.2.1 – dacă  $x(p_i) = \omega$  pentru unele locații  $p_i$ , se atribuie pentru acele locații  $x'(p_i) = \omega$ ,
    - Pasul 2.2.2 – dacă există un nod  $y$  pe calea de la nodul  $x_0$  la  $x$  astfel încât  $x' >_d y$  se atribuie  $x'(p_i) = \omega$  pentru toate locațiile  $p_i$  la care  $x'(p_i) >_d y(p_i)$ ,
    - Pasul 2.2.3 – altfel se atribuie  $x' = f(x, t_j)$ ,
- Pasul 3 – dacă toate nodurile noi sunt ori duplicate ori terminale, stop.

Astfel rezultă un arbore finit de acoperire pentru rețeaua Petri.

- O rețea Petri se numește *viabilă* (live(-ness)) dacă indiferent de marcajul care a fost atins din  $x_0$ , este posibil ca, în continuare, să se execute orice tranziție a rețelei.
- O rețea Petri pentru a fi *mărginită* nu trebuie să conțină  $\omega$ , altfel rețeaua are un spațiu infinit al stărilor.
- O rețea Petri este *persistentă* dacă, pentru oricare 2 tranziții validate, faptul că una se declanșează nu determină invalidarea celei de a doua (dacă două tranziții sunt validate de același set de condiții).
- O stare  $x$  este *accesibilă* (reachable) într-o rețea Petri din  $x_0$  dacă există o secvență de tranziții care încep în  $x_0$  astfel încât starea rețelei să devină la un moment dat  $x$ .

- O stare  $y$  este *acoperită* (coverable) pornind din  $x_0$ , dacă există o secvență de tranziții care încep în  $x_0$  astfel încât starea devine la un moment dat  $x$  și în plus  $x(p_i) \geq y(p_i)$  pentru toate  $i=1, \dots, n$  (adică permite și validarea tranzițiilor din acea stare).

### 4.3. Probleme propuse

1. Fie o rețea Petri descrisă de:

$$P=\{p_1, p_2, p_3, p_4\},$$

$$T=\{t_1, t_2, t_3\},$$

$$A= \{(p_1, t_1), (p_1, t_3), (p_2, t_2), (p_3, t_2), (p_3, t_3), (p_4, t_3), (t_1, p_2), (t_1, p_3), (t_2, p_2), (t_2, p_4)\},$$

iar ponderile asociate acestor arcuri sunt 1.

(a) Reprezentați rețeaua Petri asociată.

(b) Fie  $x_0=[2, 0, 0, 1]$  starea inițială. Identificați pentru fiecare dintre tranzițiile rețelei dacă sunt validate (dacă se pot declanșa) și dacă da, indicați care ar fi stările următoare.

(c) Reprezentați arborele de acoperire pentru această rețea.

2. Fie o rețea Petri descrisă de:

$$P=\{p_1, p_2, p_3\},$$

$$T=\{t_1, t_2, t_3\},$$

$$A= \{(p_1, t_1), (p_1, t_3), (p_2, t_1), (p_2, t_2), (p_3, t_3), (t_1, p_2), (t_1, p_3), (t_2, p_3), (t_3, p_1), (t_3, p_2)\},$$

iar ponderile asociate acestor arcuri sunt 1, excepție  $w(p_1, t_1)=2$ .

(a) reprezentați rețeaua Petri asociată.

(b) Fie  $x_0=[3, 2, 1]$  starea inițială. Identificați pentru fiecare dintre tranzițiile rețelei dacă sunt validate și dacă da, indicați care ar fi starea următoare.

(c) Fie  $x_0=[1, 0, 1]$  starea inițială. Arătați că în nici o operație care urmează în rețeaua Petri tranziția  $t_1$  nu poate avea loc.

(d) Fie  $x_0=[2, 1, 1]$  o altă starea inițială. Arătați că în pașii care urmează în rețeaua Petri ori apare un blocaj (adică nu se mai poate realiza nici o tranziție) ori se revine în starea inițială  $x_0$ .

(e) Pentru punctul (d) reprezentați arborele de acoperire și analizați arborele pentru aceleași demonstrații.

3. Fie rețeaua Petri de mai jos cu marcajul inițial  $x_0=[1, 1, 0, 2]$ .

(a) După ce se declanșează două tranziții, găsiți o stare pentru care toate tranzițiile sunt moarte.

(b) Presupunem că dorim să aplicăm următoarea secvență de declanșare  $(t_3, t_1, t_3, t_1, \dots)$ . Arătați că nu se poate repeta această secvență la infinit.

(c) Identificați starea  $x_s$  rezultată în urma secvenței de declanșare  $(t_1, t_2, t_3, t_3, t_3)$ .

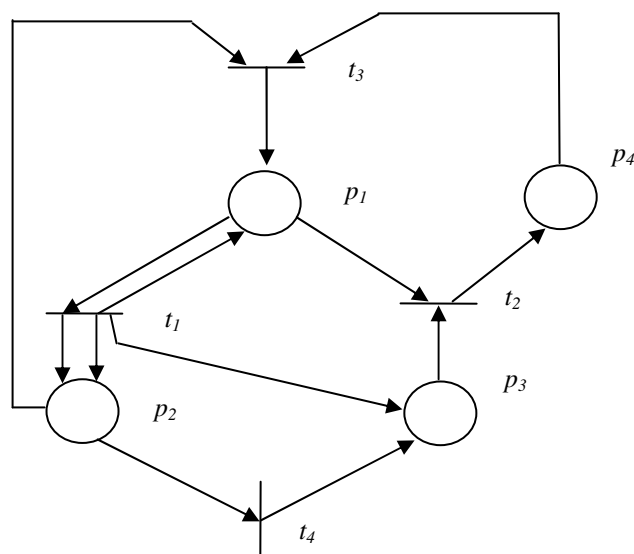


Figura 4.3. Rețeaua Petri pentru problema 3.

- (a) După ce se declanșează două tranziții, găsiți o stare pentru care toate tranzițiile sunt moarte.
- (b) Presupunem că dorim să aplicăm următoarea secvență de declanșare ( $t_3, t_1, t_3, t_1, \dots$ ). Arătați că nu se poate repeta această secvență la infinit.
- (c) Identificați starea  $x_s$  rezultată în urma secvenței de declanșare ( $t_1, t_2, t_3, t_3, t_3$ ).

4. Pentru diagrama de tranziție de mai jos (figura 4.4), cu  $E=\{e_1, e_2\}$ , desenați rețeaua Petri corespunzătoare. Apoi

- (a) indicați un posibil marcaj pentru fiecare din cele 6 stări.
- (b) există stări pentru care nici o tranziție nu este validată?

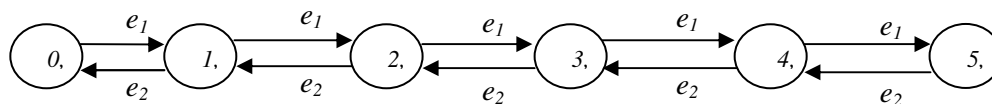


Figura 4.4. Diagrama de tranziție a stărilor pentru problema 4.

#### 4.4. Utilizarea aplicației PIPE (Platform Independent Petri Net Editor)

În această secțiune, după ce studenții s-au familiarizat teoretic cu dinamica rețelelor Petri, urmează să utilizeze, pentru verificare, o aplicație care permite vizualizarea schimbărilor de stare în rețelele Petri.

Pentru aceasta s-a ales o aplicație Open Source<sup>1</sup> care permite rularea pe diferite sisteme de operare.

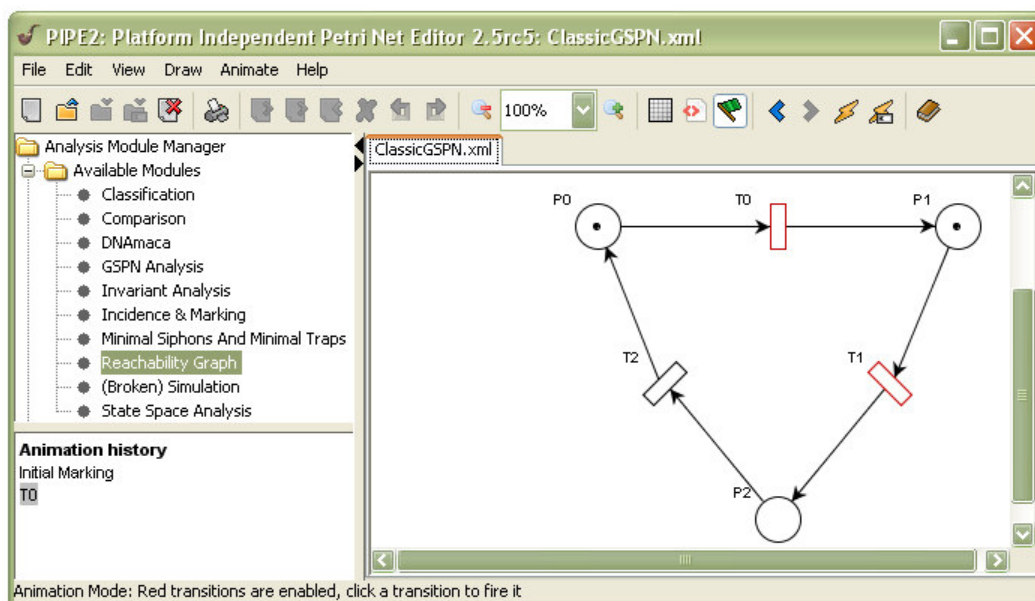


Figura 4.5. PIPE2 (Platform Independent Petri Net Editor)

În figura 4.5 este prezentată fereastra aplicației PIPE cu un exemplu de reprezentare, exemplu dintre cele disponibile în cadrul aplicației. (În acest exemplu tranzițiile din figură sunt temporizate, fiind reprezentate cu ajutorul unor dreptunghiuri, iar cele colorate în roșu sunt validate. În partea de jos, stânga este indicat istoricul tranzițiilor, pentru exemplul dat după marcajul inițial a avut loc o declanșare a tranziției T0).

Aplicația PIPE permite reprezentarea rețelelor Petri temporizate (care sunt discutate în alte lucrări) dar și a celor netemporizate. Pentru această lucrare se folosesc doar rețelele netemporizate. Aplicația permite reprezentarea unei rețele Petri și apoi, poate fi vizualizată dinamica acesteia. Astfel se pot plasa jetoane în locațiile reprezentate și pe baza acestor marcaje tranzițiile validate își schimbă culoarea. Cu un click pe oricare dintre tranziții validate se declanșează tranziția indicată.

Aplicația permite generarea matricei de incidență și de asemenea a grafului (arborelui) de acoperire cum se poate vedea în exemplul din figura 4.6. Pentru fiecare nod al grafului se poate vedea care sunt nodurile prin care putem ajunge în acea stare, respectiv, care sunt stările care pot urma – în funcție de tranziția declanșată.

<sup>1</sup> Aplicația PIPE2 (Platform Independent Petri Net Editor) este disponibilă (pagina a fost ultima dată accesată în noiembrie 2008) pe <http://pipe2.sourceforge.net/>

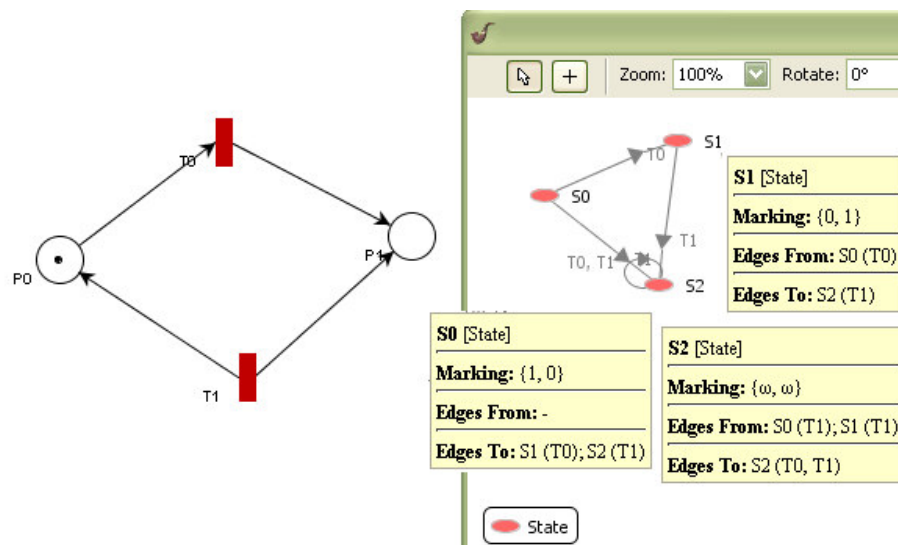


Figura 4.6. PIPE permite reprezentarea arborelui (graf-ului) de acoperire

Astfel starea  $S_0$  este cea care are marcajul inițial  $[1, 0]$  și validează ambele tranziții  $T_0$  și  $T_1$  (de fapt  $T_1$  este întotdeauna validată). Din starea  $S_0$  se poate ajunge în starea  $S_1$  dacă se declanșează tranziția  $T_0$  respectiv în starea  $S_2$  dacă se declanșează tranziția  $T_1$ , după cum se poate vedea și din descrierea asociată stării  $S_0$ . În plus se poate vedea că starea  $S_2$  are marcajul  $[\omega, \omega]$ , deoarece declanșarea tranziției  $T_1$  incrementează numărul de marcate pentru ambele locații la infinit. .

#### 4.5. Probleme suplimentare utilizând PIPE

1. Pentru început identificați opțiunile de editare a rețelelor Petri utilizând aplicația PIPE. După aceea, reprezentați o rețea Petri la alegere.

(a) Plasați marcate în locațiile rețelei și analizați dinamica acesteia comparând studiul teoretic cu rezultatele aplicației.

(b) Generați graful de acoperire. Analizați rezultatul.

2. Utilizând problemele propuse în secțiunea 4.4, și comparând rezultatele obținute analitic cu cele generate de aplicație, verificați rezultatele obținute cu ajutorul aplicației PIPE.





## 5. Modele temporizate pentru DES

### 5.1. Prezentarea lucrării

Pentru modelarea temporizată a sistemelor cu evenimente discrete (DES) se pot utiliza atât automate temporizate cât și rețele Petri temporizate. După reluarea unor noțiuni de la curs referitoare la modelele temporizate, în secțiunea 5.3. sunt propuse probleme.

### 5.2. Automate și rețele Petri temporizate

- Un automat de stări temporizat este un automat de stări care conține și o structură de temporizare (structură de timp). Structura de timp este o mulțime alcătuită din secvențe, câte una pentru fiecare eveniment, definind durată de viață a evenimentului și reprezentând intrare pentru modelul temporizat. Aceste informații sunt utilizate pentru a genera secvența de evenimente care determină parcurgerea automatului de stări.

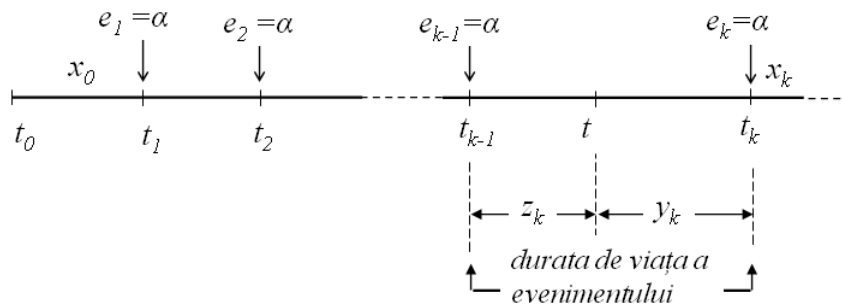


Figura 5.1. Diagramă de timp cu un eveniment permanent activ

Pentru diagrama de timp din figura 5.1 avem următoarele aspecte cunoscute:

$E=\{\alpha\}$ , și  $\Gamma(x)=\{\alpha\}$  pentru toți  $x \in X$ ,

evenimentele sunt  $e_1, e_2, \dots = \alpha$  și au loc la momentele  $t_1, t_2, \dots$  și se pot defini unele noțiuni.

Intervalul dintre 2 evenimente consecutive se numește *durata de viață* definit pentru figura 5.1 astfel  $v_k=t_k - t_{k-1}, k=1, 2, \dots$  cu  $v_k \in R^+$ .

Evenimentul  $k$  este validat/activat la momentul  $t_{k-1}$ , fiind posibil în starea respectivă. La momentul  $t_k$  evenimentul are loc și se definesc:

$y_k = t_k - t$  timpul evenimentului  $k$ , sau *timpul rezidual*,

$z_k = t - t_{k-1}$  vârsta evenimentului  $k$ .

Diagrama de timp este complet definită de înșiruirea tuturor duratelor de viață  $\{v_1, v_2, \dots\}$ .

- Un automat de stare temporizat se notează cu  $(E, X, \Gamma, f, x_0, V)$ , unde  $E$  este mulțimea de evenimente,  $X$  este spațiul stărilor (numărabile),  $x_0$  starea inițială,  $\Gamma(x)$  mulțimea evenimentelor ‘posibile’ din starea  $x$ ,  $x \in X$ ,  $\Gamma \subseteq E$ ,  $f$  funcția de tranziție  $f: X \times E \rightarrow X$ , definită în  $X$  doar pentru  $e \in \Gamma(x)$ ,  $V = \{v_i: i \in E\}$  structura de timp (de temporizare).
- Într-un automat de stări temporizat, un eveniment  $e$  este *validat* dacă tocmai a avut loc și rămâne posibil în starea următoare; sau dacă un alt eveniment are loc, cât timp  $e$  nu este posibil, și în noua stare  $e$  este posibil. De câte ori un eveniment este activat,  *timpului* lui  $i$  se atribuie valoarea corespunzătoare duratei de viață din structura de timp asociată.
- Un eveniment  $e$  este *invalidat/dezactivat* când un alt eveniment are loc și determină tranziția spre o stare unde  $e$  nu este posibil. Dacă un eveniment este dezactivat atunci timpul asociat este ignorat.
- *Evenimentul declanșator* pentru o anumită stare este cel cu cea mai mică valoare a timpului dintre evenimentele validate.
- Pentru a analiza rețele Petri temporizate se introduce *secvența de temporizare*  $v_j$  asociată tranzițiilor  $t_j$ . Se utilizează un număr pozitiv real,  $v_{j,k}$  asociat lui  $t_j$  care are următoarea semnificație: când tranziția  $t_j$  este activată de  $k$  ori, ea nu se declanșează imediat, prezentând o întârziere a declanșării dată de  $v_{j,k}$ ; pe durata acestei întârzieri jetoanele sunt păstrate în locațiile de intrare ale tranziției  $t_j$ . Nu toate tranzițiile au întârzieri în declanșare (întârziere zero), aceste tranziții aparțin setului de *tranziții cu întârziere zero*  $\in T_0$ . Cele cu întârzieri sunt numite *tranziții temporizate*  $\in T_D$ , unde  $T = T_0 \cup T_D$ .
- În reprezentarea grafică, tranzițiile temporizate sunt notate cu ajutorul unor dreptunghiuri, spre deosebire de cele netemporizate notate cu o bară, iar durata de viață a tranziției este notată de obicei lângă dreptunghi.
- O rețea Petri temporizată este definită cu ajutorul setului  $(P, T, A, w, x, V)$ :  
 $P$  – mulțimea finită a stărilor,  $p_i \in P$ ,  
 $T$  – mulțimea finită a tranzițiilor,  $t_i \in T = T_0 \cup T_D$ ,  
 $A$  – mulțimea arcurilor, submulțime a mulțimii  $(P \times T) \cup (T \times P)$ ,  
 $w$  – funcția de pondere  $w: A \rightarrow \{1, 2, 3, \dots\}$ ,  
 $x$  – marcarea inițială,  
 $V$  – structura de timp a rețelei marcate (secvența de temporizare),  $V \in \{v_j: t_j \in T_D\}$ .

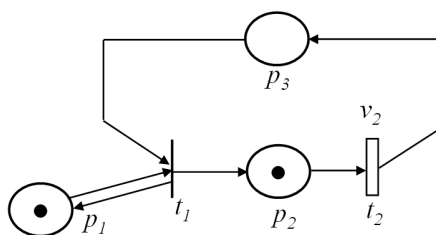


Figura 5.2. Rețea Petri temporizată. Exemplu

- În figura 5.2 se poate observa tranziția temporizată  $t_2$  care are o întârziere de declanșare  $v_i$ . În același graf tranziția  $t_1$  nu este temporizată.

### 5.3. Probleme propuse

1. Se analizează un sistem DES care are spațiul stărilor  $X = \{x_1, x_2, x_3\}$ , mulțimea evenimentelor  $E = \{\alpha, \beta, \gamma\}$  și diagrama tranzițiilor prezentată în figura 5.3. Se presupune că evenimentele  $\alpha$  sunt planificate la momentele de timp (0., 1., 2.3, 5.6), evenimentele  $\beta$  sunt planificate la momentele de timp (0.2, 3.1, 6.4, 9.7) iar evenimentele  $\gamma$  sunt planificate la momentele de timp (2.2, 5.3).

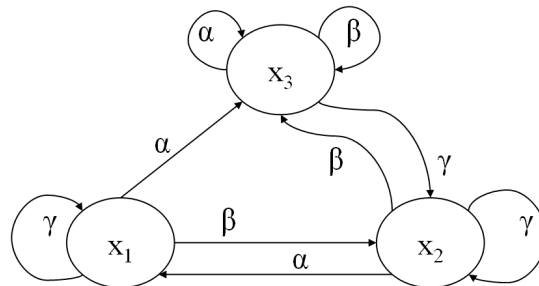


Figura 5.3. Diagrama tranzițiilor pentru un DES

(a) Presupunând că  $x_1$  este starea inițială, să se construiască o diagramă de timp pentru secvența de evenimente din intervalul  $[0., 10.]$ . Se vor indica momentele în care apar evenimente, tipul lor și starea sistemului pentru orice interval dintre 2 evenimente (nu trebuie reprezentate stările pentru toate momentele de timp).

(b) Încercați, pe baza diagramei de timp de la punctul (a), să estimați care este în general probabilitatea ca sistemul să fie în starea  $x_2$ .

2. Rețeaua Petri din figura 5.5 modelează execuția unui task  $T_3$ , simultan cu două task-uri secvențiale  $T_1$  și  $T_2$  iar task-ul  $T_4$  combină rezultatele de la  $T_3$  și  $T_2$  după cum se poate observa în figura 5.4.

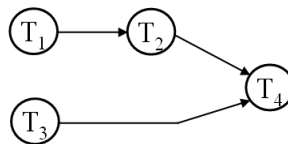


Figura 5.4. Sistem cu task-uri realizate serial și în paralel

Presupunem că dorim să simplificăm modelul prin eliminarea tranziției  $t_{23}$  astfel încât tranzițiile  $t_2$  și  $t_3$  să poată plasa un jeton direct în locația  $p_4$  și în plus atribuind greutatea 2 arcului  $(p_4, t_4)$ .

(a) Este posibilă această modificare? Argumentați răspunsul;

(b) Pentru rețeaua Petri din figura 5.5 scrieți un set de ecuații recursive pentru momentele de declanșare a tranzițiilor.

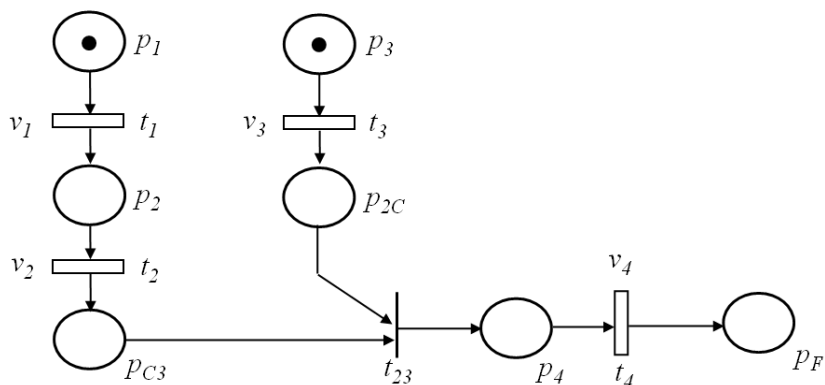


Figura 5.5. Rețea Petri temporizată

(c) Să se repete problema (b) pentru modelul modificat. Care este diferența în acest caz?

## 6. Modelarea unor procese economice utilizând lanțuri Markov

### 6.1. Analiza proceselor stohastice utilizând lanțuri Markov

Această lucrare adresează aplicațiile modelării și simulării. În lucrare se analizează un exemplu de utilizare a Lanțuri Markov în domeniul prognozei de marketing. Lanțurile Markov sunt modele care permit modelarea stohastică. Chiar dacă se folosește un model simplificat, scopul este să subliniem utilitatea modelării.

În această lucrare utilizăm doar lanțuri Markov în timp continuu – *DTMC (Discrete Time Markov Chain)* pentru studiul de caz.

Prin lanț Markov se înțelege o secvență de variabile aleatoare  $X_1, X_2, X_3, \dots$  care au proprietatea lui Markov. Proprietatea lui Markov poate fi exprimată în mai multe moduri: „data fiind starea prezenta, starea viitoare și starea trecută sunt independente” sau „starea următoare este determinată de starea curentă”.

Toate valorile  $X_i$  posibile formează mulțimea stărilor  $S$ , denumită spațiul stărilor. De exemplu, simplificat, starea vremii poate fi: însorit, (cer acoperit) noros, ploaie. În figurile 6.1 este reprezentat graful orientat, tabelul de corespondență și starea inițială.

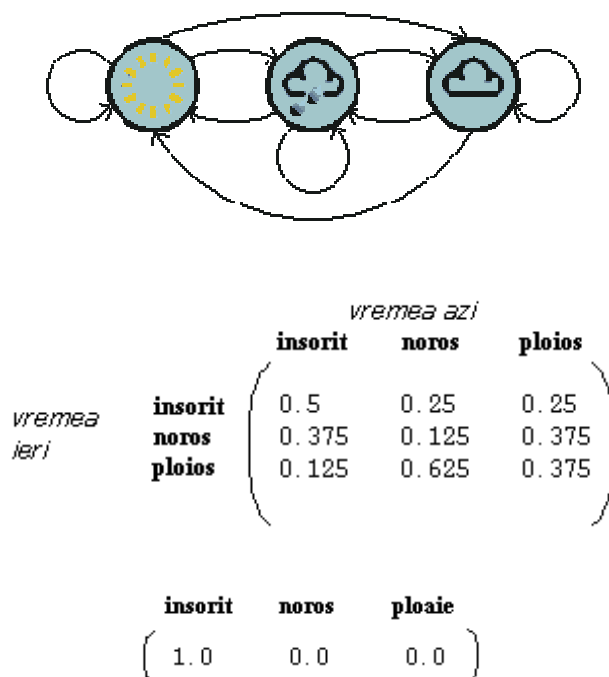


Figura 6.1. Modelare simplificată pentru prognoză meteo. Matricea tranzițiilor și vectorul inițial.

Lanțurile Markov sunt descrise cu ajutorul graf-urilor orientate. Pe arce pot fi notate probabilitățile de tranziție.

Probabilitățile de tranziție sunt descrise cu o *matrice a tranzițiilor*. În această matrice a tranzițiilor, suma intrărilor pe coloane/rânduri = 1.

Se mai definește *vectorul inițial* sau *distribuția inițială* care este starea la momentul 0, în cazul figurii 6.1 este vectorul de jos.

Așa cum specifică numele, DTMC (Discrete Time Markov Chain) consideră intervale de timp discret. (ex. la intervale de timp  $\Delta t$ ).

DTMC sunt caracterizate cu ajutorul unei matrice a tranzițiilor pentru un pas, diagrama tranzițiilor (matricea P, dimensiuni  $N \times N$  cu elementele  $p_{ij}$  – reprezintă probabilitatea tranziției din starea  $i$  în starea  $j$ , într-un pas). După  $n$  pași, prin multiplicarea matricei cu ea însăși, când  $n$  tinde la infinit obținem *matricea staționară*. În cazul figurii 6.1 matricea P este dată la mijlocul figurii.

Evident, exemplul din figura 6.1 ignoră alți factori climatici care influențează prognoza vremii (curenții de aer, etc.).

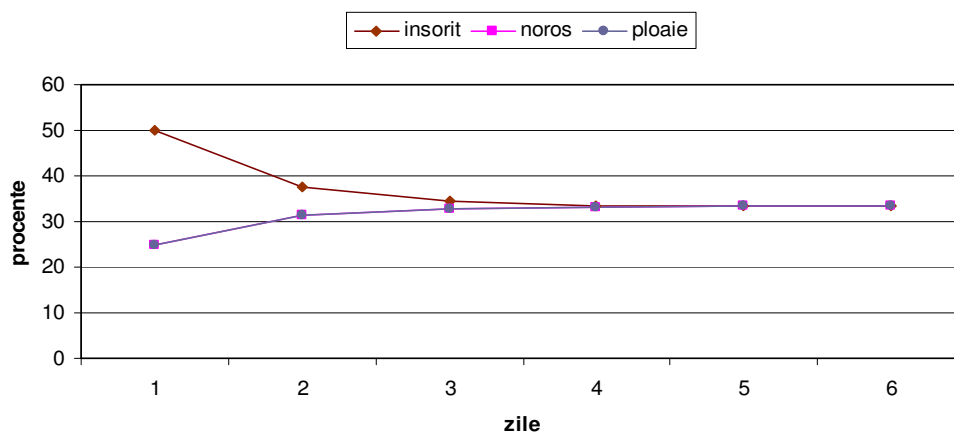


Figura 6.2. Evoluția după 5 pași a exemplului din figura 6.1.

Figura 6.2 prezintă evoluția rezultatei procesului de evaluare succesivă a prognozei pentru exemplul din figura 6.1. Vectorul inițial a fost înmulțit cu matricea tranzițiilor pentru a obține evaluarea pentru prima zi, și apoi rezultatul obținut fiind din nou înmulțit cu matricea tranzițiilor pentru a obține evaluarea pentru ziua a doua, etc. Distribuția staționară are toate cele trei probabilități 33.33%.

## 6.2. DTMC – Studiu de caz. Evoluția ponderii de piață<sup>1</sup>

În această secțiune este prezentat un studiu de caz pentru o analiză a evoluției ponderii de piață a unor produse concurențiale.

<sup>1</sup> C. Rațiu-Suciu, F. Luban, D. Hîncu, M. Sarchiz, Modelarea și simularea proceselor economice, Ed. Didactică și pedagogică, București, 1997

În acest studiu de caz se presupune că avem trei produse concurente de pe piața produselor cosmetice pentru copii. Cele trei produse le vom identifica cu C1, C2 respectiv C3. Cota de piață a fiecărui produs este 35% pentru produsul C1, 45% pentru produsul C2, și respectiv 20% pentru produsul C3.

Coefficientul de fidelitate de la o lună la alta este constant și anume: 55% dintre cumpărătorii actuali ai produsului C1 rămân fideli acestui produs, 65% rămân fideli produsului C2 respectiv 75% rămân fideli produsului C3. Ceilalți cumpărători se reorientează spre celelalte produse disponibile, după cum se poate observa în tabelul 6.1.

Tabelul 6.1. Reorientări ale clienților

Produs 'părăsit'	Reorientări (%)		
	C1	C2	C3
C1	-	20	25
C2	15	-	20
C3	10	15	-

Considerând constante probabilitățile de tranziție se analizează evoluția ponderii de piață a celor trei produse pentru șase luni.

Pe baza acestui studiu se pot face evaluări ale evoluției și astfel pot fi stabilite politici manageriale potrivite pentru fiecare produs în parte la firma la care este produs/distribuit.

Astfel, se știe:

Ponderea pe piață a 3 produse (la un moment dat, inițial – adică cota de piață inițială),

Rezultatele unui sondaj de piață (din care să rezulte opțiunea cumpărătorilor, pentru următoarele perioade de timp – adică matricea de reorientare a clienților).

Modelare cu lanțuri Markov utilizează matricea stohastică (matricea de reorientare a clienților în care s-au inserat probabilitățile celor fideli) și distribuția inițială (adică cota de piață inițială).

Etapele sunt următoarele:

1. se construiește matricea probabilităților pe baza coeficienților de fidelitate și a tabelului de reorientare. În această matrice, toate valorile sunt pozitive și suma lor e 1 (100% dacă utilizăm procent) pentru fiecare linie.

$$P = \begin{pmatrix} 0.55 & 0.20 & 0.25 \\ 0.15 & 0.65 & 0.20 \\ 0.10 & 0.15 & 0.75 \end{pmatrix}$$

2. se scrie distribuția inițială sub forma unui vector linie, format din cota de piață inițială.

$$a = (0.35 \quad 0.45 \quad 0.20)$$

3. se determină cota de piață după prima perioadă înmulțind distribuția inițială cu matricea probabilităților. Acest rezultat va înlocui distribuția inițială în calculul cotei de piață pentru al doilea interval de timp. Se continuă pentru tot intervalul analizat.

Astfel pentru acest exemplu avem, după o lună:

$$a \times P = (0.28 \quad 0.3925 \quad 0.3275)$$

Iar după două luni:

$$a \times P \times P = (0.2455 \quad 0.3602 \quad 0.3941)$$

În final se obține:

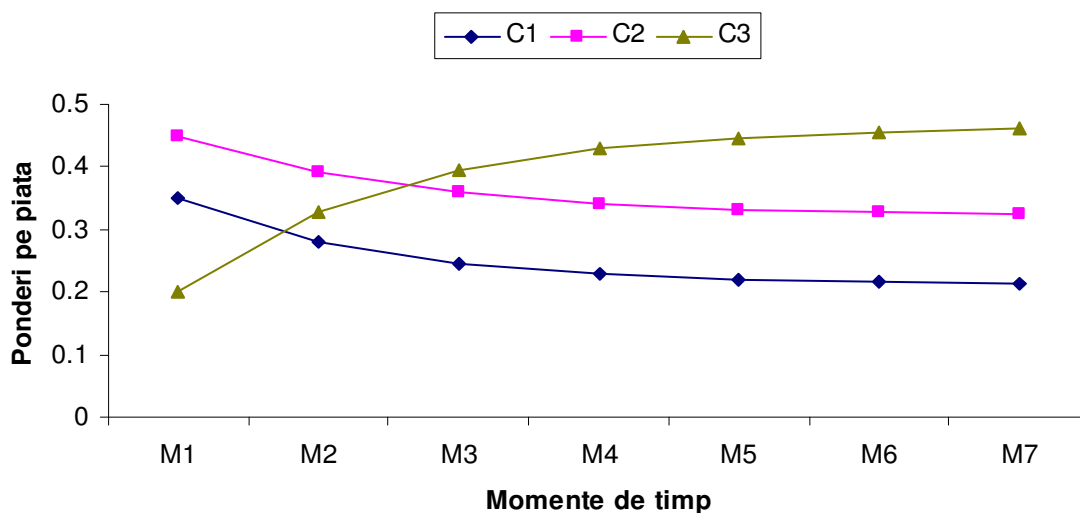


Figura 6.3. Evoluția pentru 6 luni a cotei de piață utilizând lanțuri Markov

Pe baza acestor cote se poate decide reducerea de preț pentru produsele C1 și C2 pentru a crește vânzările sau, dacă nu se poate, se renunță la desfășurarea lor.

### 6.3. Studii propuse

1. Utilizând etapele descrise în secțiunea anterioară, să se facă o analiză a evoluției pe piață a trei produse știind următoarele:

- produsul P1, concurent cu P2, și P3, produse similare
- după un studiu de marketing au rezultat următoarele:
  - firma deține o pondere de 44,9% din piață,
    - comparativ cu 25,1% și respectiv 30% concurența
  - există o relativă stabilitate a preferințelor consumatorilor
    - 80% din cei ce au achiziționat P1 vor continua să-l achiziționeze, pt. P2 și P3 proporția cumpărărilor fideli fiind de 50% respectiv 75%
    - reorientările sunt în tabelul 6.2.

Presupunând că nu apar modificări pe piață, se dorește cunoașterea evoluției ponderii de piață a celor 3 produse pentru următoarele 6 momente de timp. De asemenea se presupune constant numărul de produse și numărul de consumatori. Propuneți soluții pentru producători.



Tabelul 6.2. Reorientări ale clienților

Produs 'părăsit'	Reorientări (%)		
	P1	P2	P3
P1	-	10 %	10 %
P2	35 %	-	15 %
P3	10 %	15 %	-

2. Presupunem că pe o piață sunt 3 tipuri de calculatoare PC1, PC2, PC3. Se știu următoarele:

- cota de participare în totalul pieței 51%, 39% și 10%
- din sondajele efectuate au rezultat clienți fideli
  - 65% pentru PC1, 75% pentru PC2, și 85% pentru PC3
  - ceilalți clienți se reorientează conform tabelului 6.3.

Tabelul 6.3. Reorientări ale clienților pentru problema 2.

Produs 'părăsit'	Reorientări (%)		
	P1	P2	P3
P1	-	15	20
P2	15	-	10
P3	5	10	-

Se cere să analizați evoluția ponderii pe piață a produselor pentru minim 3 luni presupunând constante probabilitățile de tranziție. Care ar fi propunerile d-voastră pentru a îmbunătăți situația celor care pierd din ponderea de piață?



## Bibliografie

---

Discrete Event Systems: Modeling and Performance Analysis, Christos G. Cassandras, Richard D Irwin, 1993.

*Modelarea și simularea proceselor economice*, M. Stoica, I. Ionita, M. Botezatu, Ed. Economica, București, 1997.

*Modelarea și simularea proceselor economice*, C. Rațiu-Suciu, F. Luban, D. Hîncu, M. Sarchiz, Ed. Didactică și pedagogică, Bucuresti, 1997.

*Aplicații ale rețelelor Petri în studierea sistemelor cu evenimente discrete*, Octavian Păstrăvanu, Mihaela Matcovschi Cristian Mahulea, Editura Gh. ASACHI, 2002.

Introduction to Computational Science: Modeling and Simulation for the Sciences, Angela B. Shiflet & George W. Shiflet, Princeton University Press, 2006.

*Introduction to Discrete Event Systems, second edition*, Christos G. Cassandras & Stephane Lafortune, Springer, 2008.